



第二章

线性时不变系统的时域分析



§ 2.0 引言

§ 2.1 连续时间**LTI**系统的时域分析

§ 2.2 离散时间**LTI**系统的时域分析

§ 2.3 单位冲激/脉冲响应与**LTI**系统性质

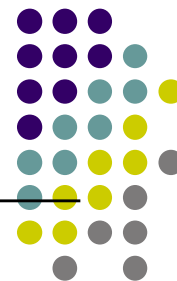
§ 2.4 **LTI**系统的微分、差分方程描述

§ 2.5 **LTI**系统的响应分解

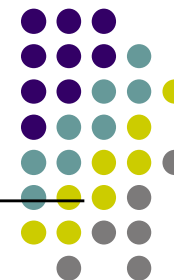
§ 2.6 **LTI**系统的框图表示



2.0 引言



- 本章将讨论一种最基本而又极为有用的LTI系统的分析方法——时域分析方法，即所涉及的信号的自变量都是关于时间 t （或 n ）的一种分析方法。
- 主要目的之一是给出求解LTI系统的一般方法——卷积，并以此为基础进一步讨论LTI系统的有关性质和相关问题。通过本章的讨论，将建立LTI系统的时域分析的理论框架。
- 基本思路：
利用LTI系统的叠加性和齐次性
以及用某一基本信号表示一般信号



§ 2.0 引言

§ 2.1 连续时间LTI系统的时域分析

§ 2.2 离散时间LTI系统的时域分析

§ 2.3 单位冲激/脉冲响应与LTI系统性质

§ 2.4 LTI系统的微分、差分方程描述

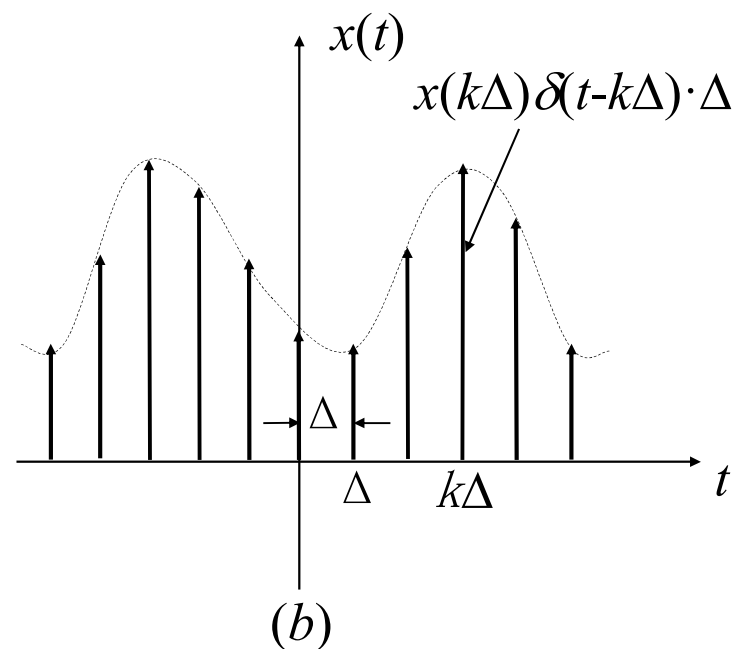
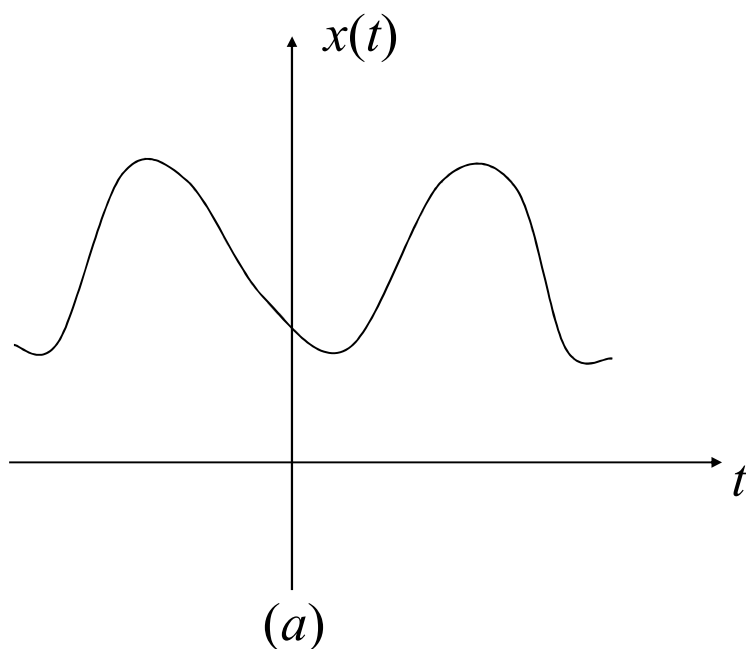
§ 2.5 LTI系统的响应分解

§ 2.6 LTI系统的框图表示



2.1.1 信号的脉冲分解

任一信号可用无穷多个单位冲激函数的移位、加权之“和”
(即积分)来表示。

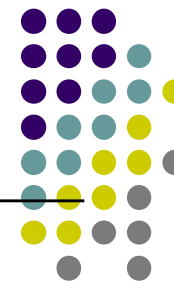


$$x(t) \square \hat{x}(t) = \sum_{k=-\infty}^{\infty} x(k\Delta)\delta(t-k\Delta) \cdot \Delta \quad (2.2)$$

冲激函数的线性组合



2.1.1 信号的脉冲分解



当 $\Delta \rightarrow 0$ 时, (2.2) 式能够精确表示任一信号 $x(t)$, 即 (2.2) 演变为积分的形式 (2.3) 式。

$$\begin{aligned} x(t) &= \lim_{\Delta \rightarrow 0} \hat{x}(t) = \lim_{\Delta \rightarrow 0} \sum_{k=-\infty}^{\infty} x(k\Delta) \delta(t - k\Delta) \cdot \Delta \\ &= \int_{-\infty}^{\infty} x(\tau) \delta(t - \tau) \cdot d\tau \end{aligned} \quad (2.3)$$

筛选性质

单位冲激函数的移位、加权之“和”



2.1.1 信号的脉冲分解

如果用以下矩形脉冲近似表示单位冲激函数

$$\delta_{\Delta}(t) = \begin{cases} \frac{1}{\Delta}, & 0 < t < \Delta \\ 0, & \text{其他} \end{cases}$$

显然

$$\delta(t) = \lim_{\Delta \rightarrow 0} \delta_{\Delta}(t)$$

$$\delta(t - \Delta k) = \lim_{\Delta \rightarrow 0} \delta_{\Delta}(t - \Delta k)$$

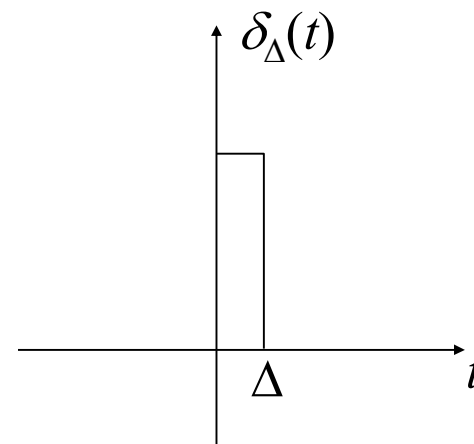
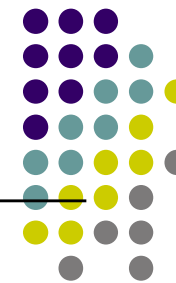
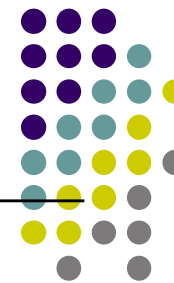


图2-2 $\delta_{\Delta}(t)$ 波形





2.1.1 信号的脉冲分解



用一系列矩形脉冲来近似，得到的以下近似表达：

$$x(t) \approx \hat{x}(t) = \sum_{k=-\infty}^{\infty} x(k\Delta) \delta_{\Delta}(t - k\Delta) \cdot \Delta$$

$$x(t) = \lim_{\Delta \rightarrow 0} \hat{x}(t) = \int_{-\infty}^{\infty} x(\tau) \delta(t - \tau) \cdot d\tau$$

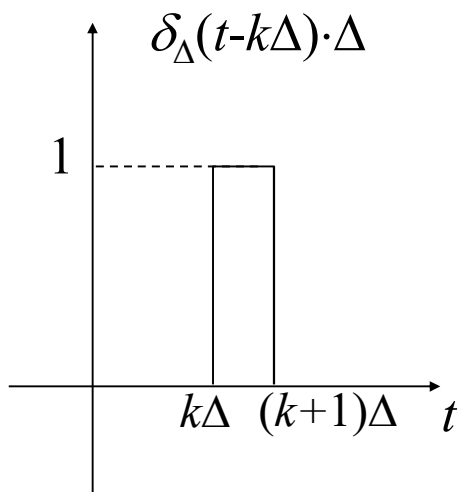


图2-3 $\delta_{\Delta}(t - k\Delta) \cdot \Delta$ 的形式

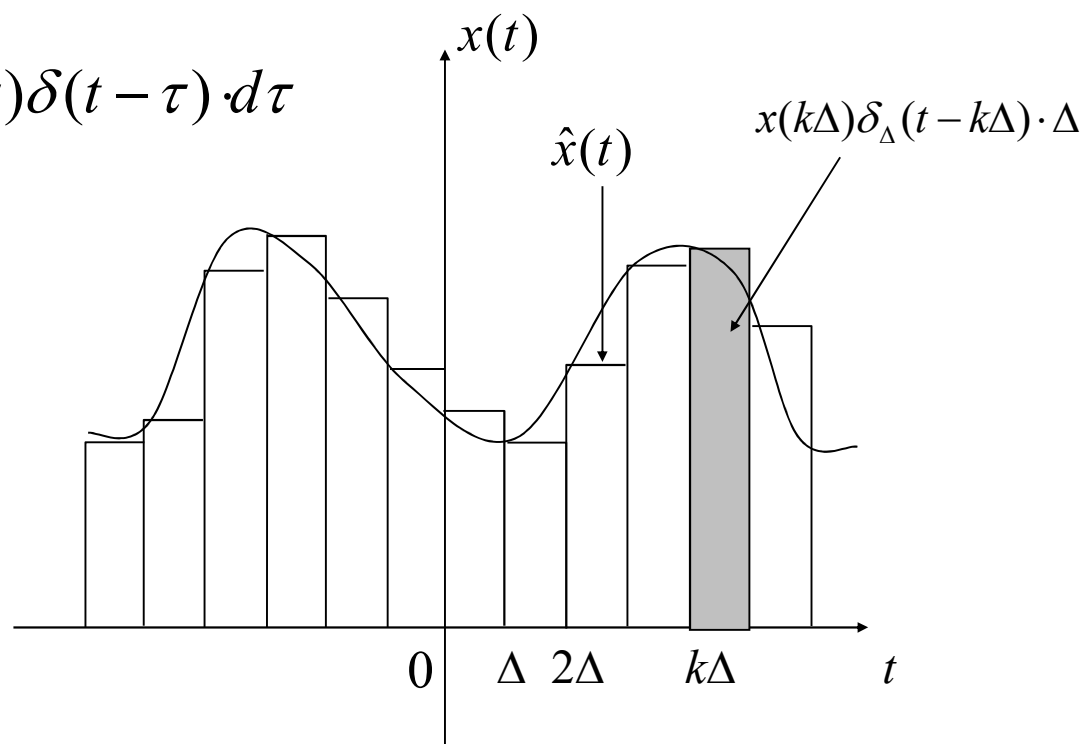


图2-4 用矩形脉冲 $x(t)$



2.1.2 卷积积分与单位冲激响应

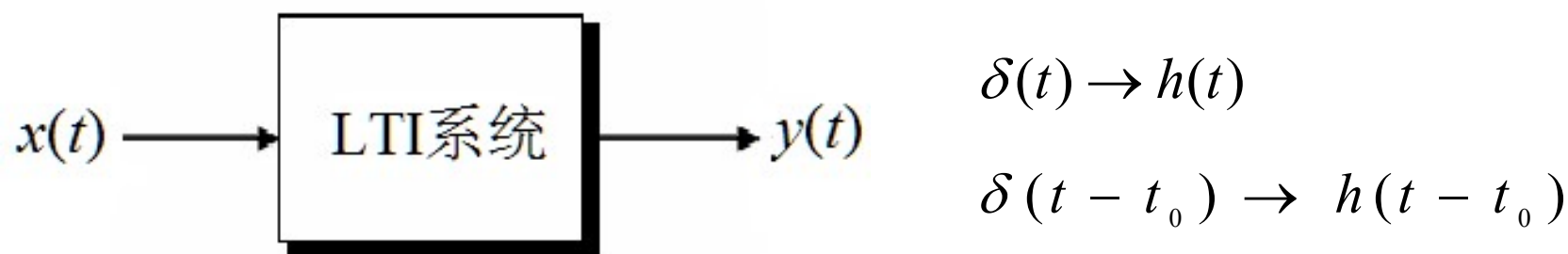


卷积方法是LTI系统的最基本的分析方法，
是用于LTI系统求解对激励信号的响应。



2.1.2 卷积积分与单位冲激响应

- 为了说明其基本原理，考虑以下LTI系统。



其中， $h(t)$ 称为系统的单位冲激响应。

将 $x(t)$ 分解为移位冲激信号的线性组合：

$$x(t) = \int_{-\infty}^{\infty} x(\tau) \delta(t - \tau) \cdot d\tau = \lim_{\Delta \rightarrow 0} \sum_{k=-\infty}^{\infty} x(k\Delta) \delta(t - k\Delta) \cdot \Delta$$



2.1.2 卷积积分与单位冲激响应



- 根据LTI系统的齐次性，有

$$x(k\Delta) \cdot \delta(t - k\Delta) \cdot \Delta \rightarrow x(k\Delta)h(t - k\Delta) \cdot \Delta$$

- 再根据LTI系统的叠加性，我们有

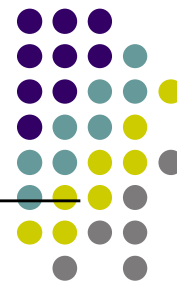
$$\sum_{k=-\infty}^{\infty} x(k\Delta)\delta(t - k\Delta) \cdot \Delta \rightarrow \sum_{k=-\infty}^{\infty} x(k\Delta)h(t - k\Delta) \cdot \Delta$$

- 上式取极限，有

$$\lim_{\Delta \rightarrow 0} \sum_{k=-\infty}^{\infty} x(k\Delta)\delta(t - k\Delta) \cdot \Delta \rightarrow \lim_{\Delta \rightarrow 0} \sum_{k=-\infty}^{\infty} x(k\Delta)h(t - k\Delta) \cdot \Delta$$



2.1.2 卷积积分与单位冲激响应



- 表示为积分形式

$$x(t) = \int_{-\infty}^{\infty} x(\tau) \delta(t - \tau) \cdot d\tau \rightarrow \int_{-\infty}^{\infty} x(\tau) h(t - \tau) \cdot d\tau$$

- 因此，响应 $y(t)$ 为

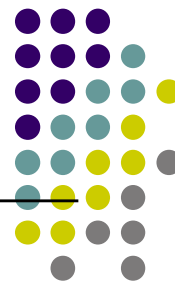
$$y(t) = \int_{-\infty}^{\infty} x(\tau) h(t - \tau) \cdot d\tau$$

- 上式的数学运算称为卷积积分，简称卷积，通常记为

$$y(t) = x(t) * h(t)$$



2.1.2 卷积积分与单位冲激响应



卷积积分的意义：

1. 原理：将信号分解为移位冲激信号的线性组合，借助系统的单位冲激响应，获得LTI系统对激励的响应解。
2. LTI系统对输入信号的响应过程可以看作是两个信号相互作用的过程：卷积积分运算。



2.1.2 卷积积分与单位冲激响应

3. LTI系统的单位冲激响应可以完全表征系统的特性。

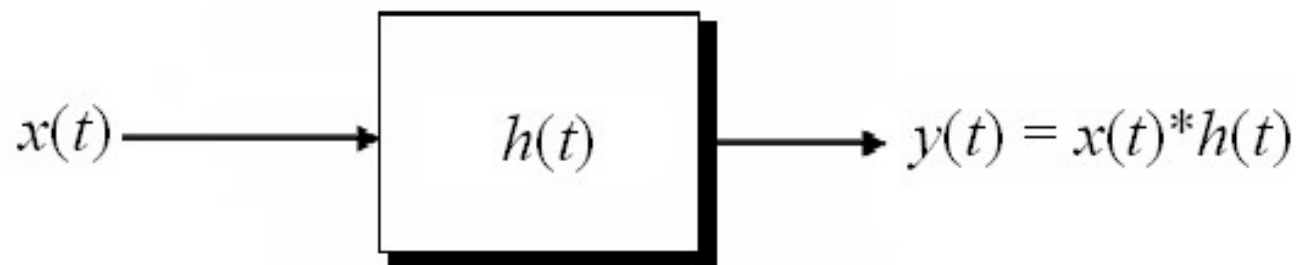
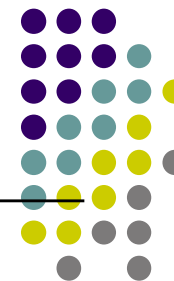


图 LTI系统的单位冲激响应的表示

4. 单位冲激响应给出连续时间LTI系统更一般的描述方法。



例2.1



【例2.1】已知一线性时不变系统的单位冲激响应为

$$h(t) = e^{-at} \cdot u(t)$$

系统的输入信号为一单边指数信号 $x(t) = e^{-bt}u(t)$, $a \neq b$
求系统对输入信号的响应输出 $y(t)$ 。

解：系统的输出 $y(t)$ 为

$$y(t) = x(t) * h(t) = \int_{-\infty}^{\infty} e^{-b\tau} \cdot u(\tau) \cdot e^{-a(t-\tau)} \cdot u(t-\tau) \cdot d\tau$$

由于 $\tau < 0$ 时, $u(\tau) = 0$; 以及 $\tau > t$ 时, $u(t-\tau) = 0$ 。

所以积分变量 τ 的取值区间应为 $0 \leq \tau \leq t$ 。

在此区间内, $u(\tau) = u(t-\tau) = 1$



例2.1



故有

$$\begin{aligned} y(t) &= \int_0^t e^{-b\tau} \cdot e^{-a(t-\tau)} \cdot d\tau \\ &= \int_0^t e^{-at} \cdot e^{(a-b)\tau} \cdot d\tau \\ &= e^{-at} \int_0^t e^{(a-b)\tau} \cdot d\tau \\ &= e^{-at} \frac{e^{(a-b)\tau}}{a-b} \bigg|_{\tau=0}^t \\ &= \left(\frac{1}{a-b} e^{-bt} - \frac{1}{a-b} e^{-at} \right) u(t) \end{aligned}$$



2.1.3 卷积积分的图示法

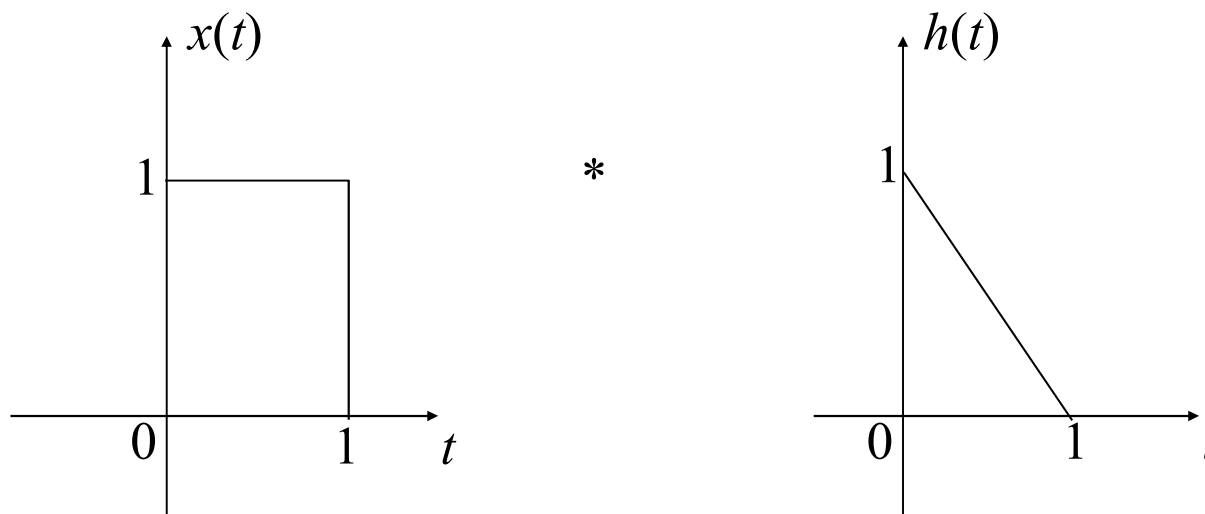


图2-6 $x(t)$ 和 $h(t)$ 的波形

观察 $x(t) * h(t) = \int_{-\infty}^{\infty} x(\tau) \cdot h(t - \tau) \cdot d\tau$

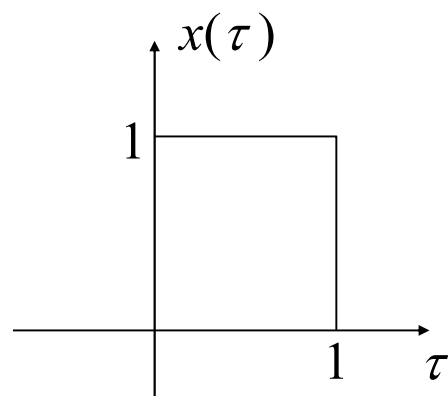
可得卷积的计算的图示法的一般步骤为：



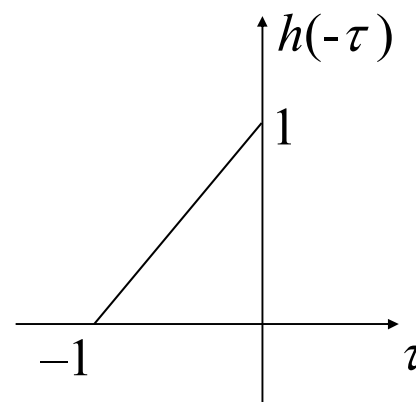
2.1.3 卷积积分的图示法



1. 反转：卷积积分中 τ 为积分变量， t 为参变量，将函数 $x(t)$ 和 $h(t)$ 的自变量用 τ 代换，将 $h(\tau)$ 以纵坐标轴为轴线反转得 $h(-\tau)$ 。



(a)



(b)

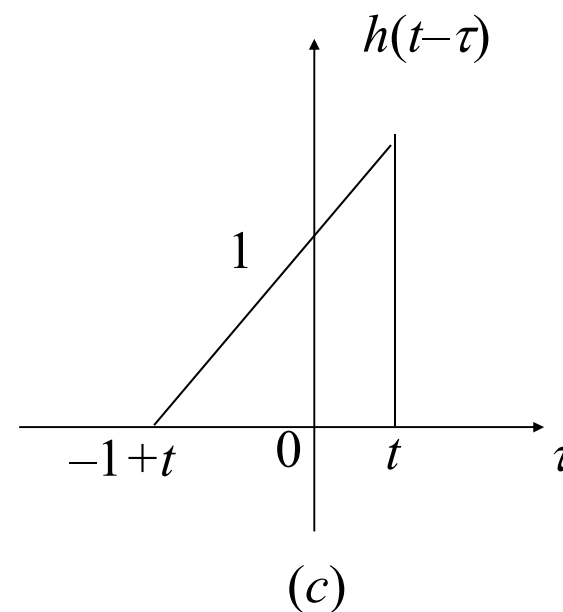


2.1.3 卷积积分的图示法



2. 平移：为了计算 t 时刻的卷积值，将 $h(-\tau)$ 随参变量 t 平移，得 $h(t-\tau)$ 。

若 $t > 0$ ，则 $h(-\tau)$ 沿 τ 轴向右平移 t ，
若 $t < 0$ ，则 $h(-\tau)$ 沿 τ 轴向左平移 t 。



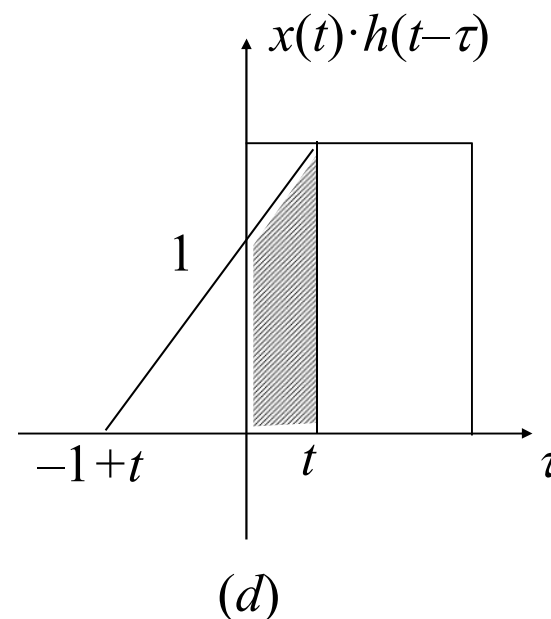


2.1.3 卷积积分的图示法



3. 相乘: 将 $x(\tau)$ 与 $h(t - \tau)$ 相乘, 得函数 $x(\tau) \cdot h(t - \tau)$

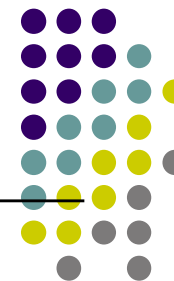
4. 积分: 求 $x(\tau)$ 与 $h(t - \tau)$ 乘积曲线下的面积, 即为 t 时刻的卷积积分值。



5. 选取不同的 t 值, 重复上述2-4步骤, 可计算出不同的时刻 t 所对应的卷积和值。

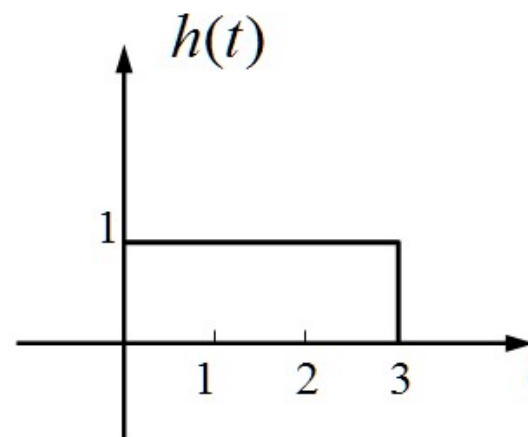
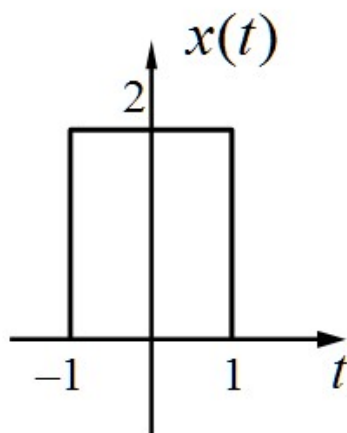


例2.2



【例2.2】 已知信号 $x(t)$ 和 $h(t)$ 如图(a)所示，求卷积积分：

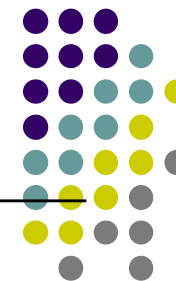
$$y(t) = x(t) * h(t)$$



(a)

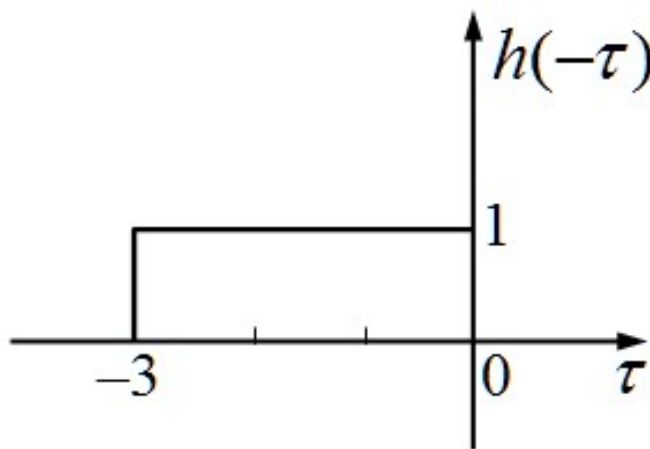


例2.2

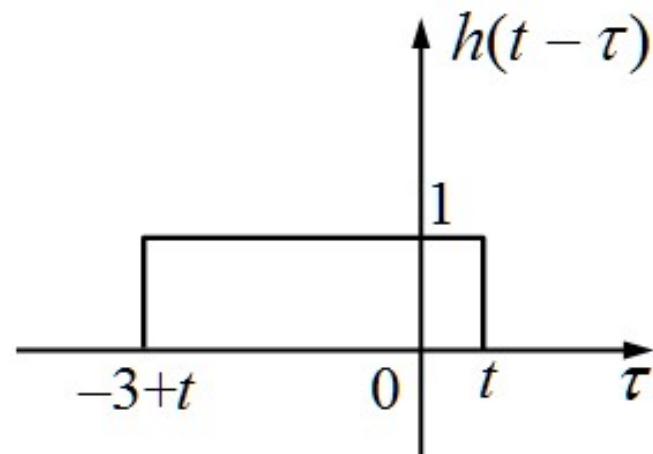


解：

1. 先将 $x(t)$ 和 $h(t)$ 的自变量更换为 τ ，再将 $h(\tau)$ 反转为 $h(-\tau)$ ； $h(-\tau)$ 沿 τ 轴平移得 $h(t-\tau)$ ；将 $x(\tau)$ 与 $h(t-\tau)$ 相乘，得曲线 $x(\tau) \cdot h(t-\tau)$ 。



(b)



(c)

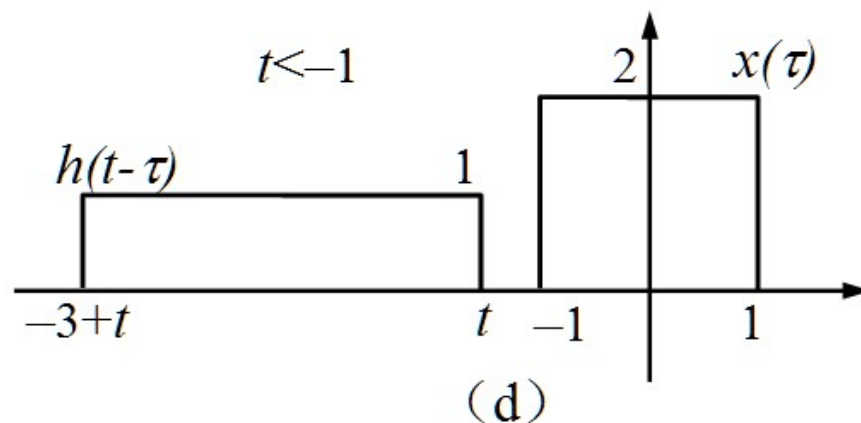


例2.2



2. 由于 $x(\tau)$ 和 $h(\tau)$ 均为有限时宽信号，因此曲线 $x(\tau)h(t-\tau)$ 的非零区（重叠区）将视 t 的取值不同而有所不同，因此相乘和积分应随不同 t 的取值范围分几个区间进行。

(1) 当 $t < -1$ 时，由图 (d)所示，知 $x(\tau)$ 与 $h(t-\tau)$ 无重叠部分，乘积为零，所以 $y(t) = x(t) * h(t) = 0, \quad t < -1$



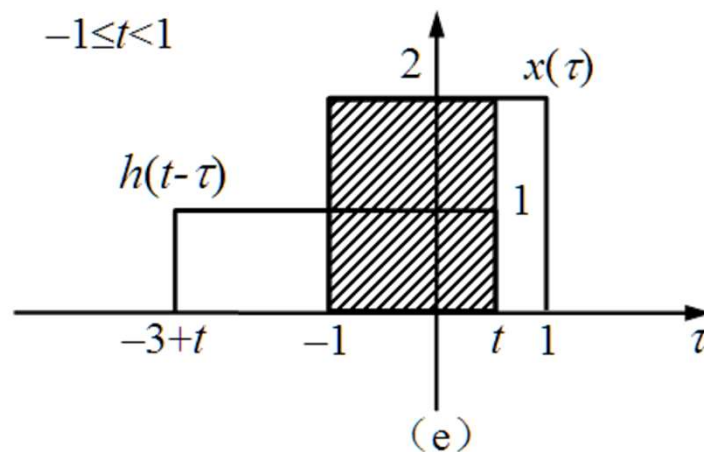


例2.2



(2) 当 $-1 \leq t \leq 1$ 时，由图2-8(e)所示，知 $x(\tau)$ 与 $h(t-\tau)$ 的重叠区为 $[-1, t]$ ，即乘积 $x(\tau)h(t-\tau)$ 在区间 $[-1, -t]$ 上非零，所以：

$$y(t) = \int_{-1}^t x(\tau)h(t-\tau) \cdot d\tau = \int_{-1}^t 2d\tau = 2(t+1)$$



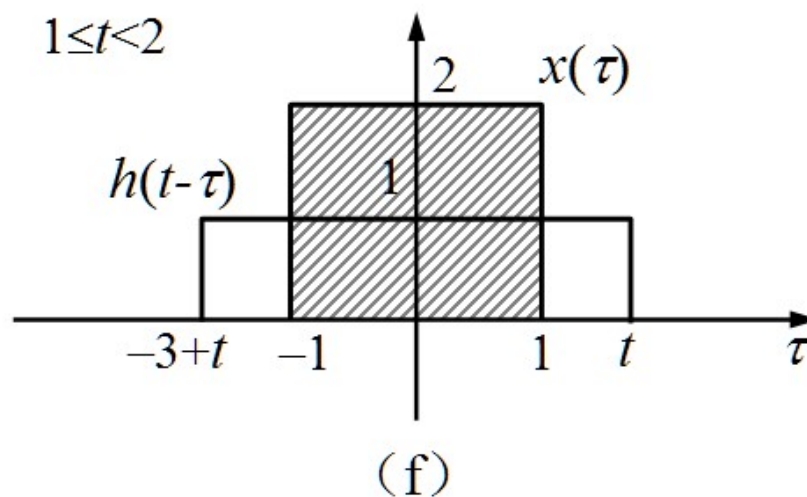


例2.2



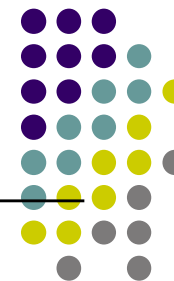
(3) 当 $1 \leq t \leq 2$ 时, 由图2-8(f)所示, 知 $x(\tau)$ 与 $h(t - \tau)$ 的重叠区为 $[-1, 1]$, 所以:

$$y(t) = \int_{-1}^1 x(\tau) h(t - \tau) \cdot d\tau = \int_{-1}^1 2 d\tau = 4$$



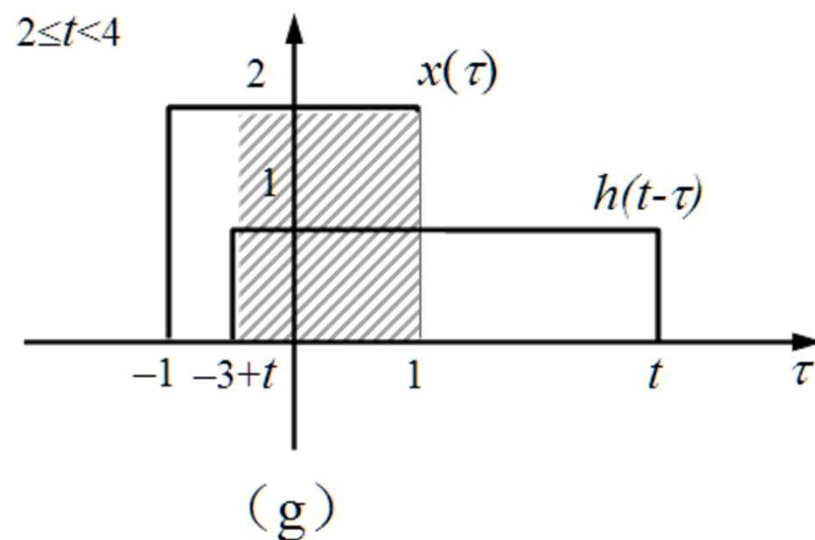


例2.2



(4) 当 $2 \leq t \leq 4$ 时，由图2-8(g)所示，知 $x(\tau)$ 与 $h(t-\tau)$ 的重叠区为 $[-3+t, 1]$ ，所以：

$$y(t) = \int_{-3+t}^1 x(\tau)h(t-\tau) \cdot d\tau = \int_{-3+t}^1 2d\tau = 2(4-t)$$



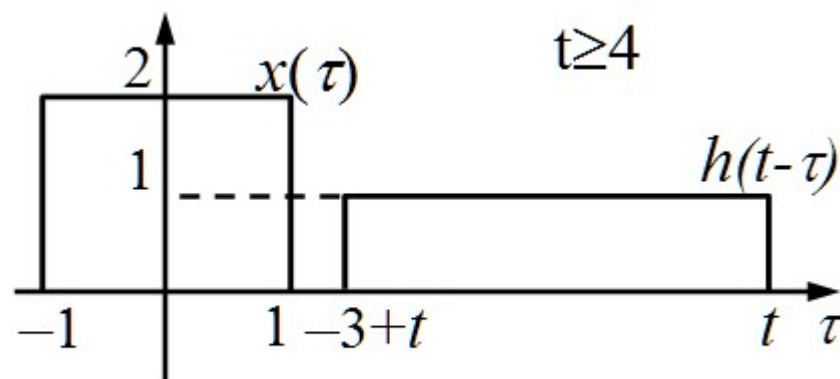


例2.2



(5)当 $t \geq 4$ 时，由图2-8(h)所示，知 $x(\tau)$ 与 $h(t - \tau)$ 无重叠区，所以：

$$y(t) = x(t) * h(t) = 0$$



(h)

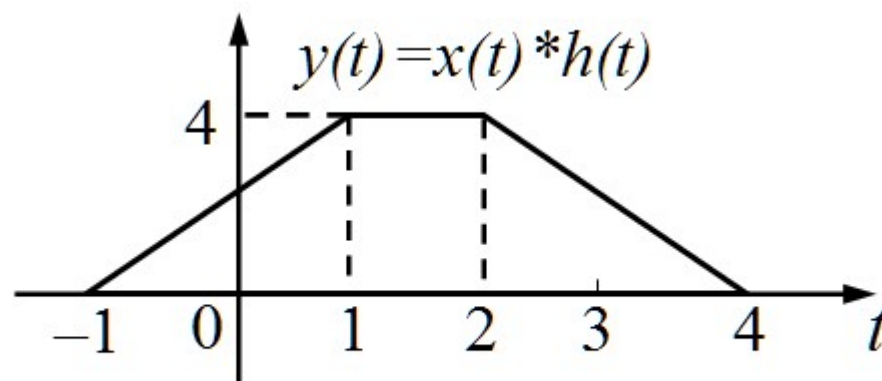


例2.2



$$y(t) = \begin{cases} 0 & t < -1 \\ 2(t+1) & -1 \leq t \leq 1 \\ 4 & 1 \leq t \leq 2 \\ 2(4-t) & 2 \leq t \leq 4 \\ 0 & t \geq 4 \end{cases}$$

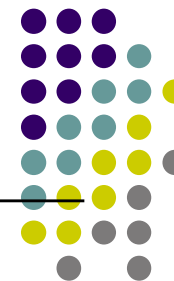
$y(t)$ 的波形如图 (i)所示:



(i)



MATLAB演示



【例2-24】计算两矩形窗信号的卷积。

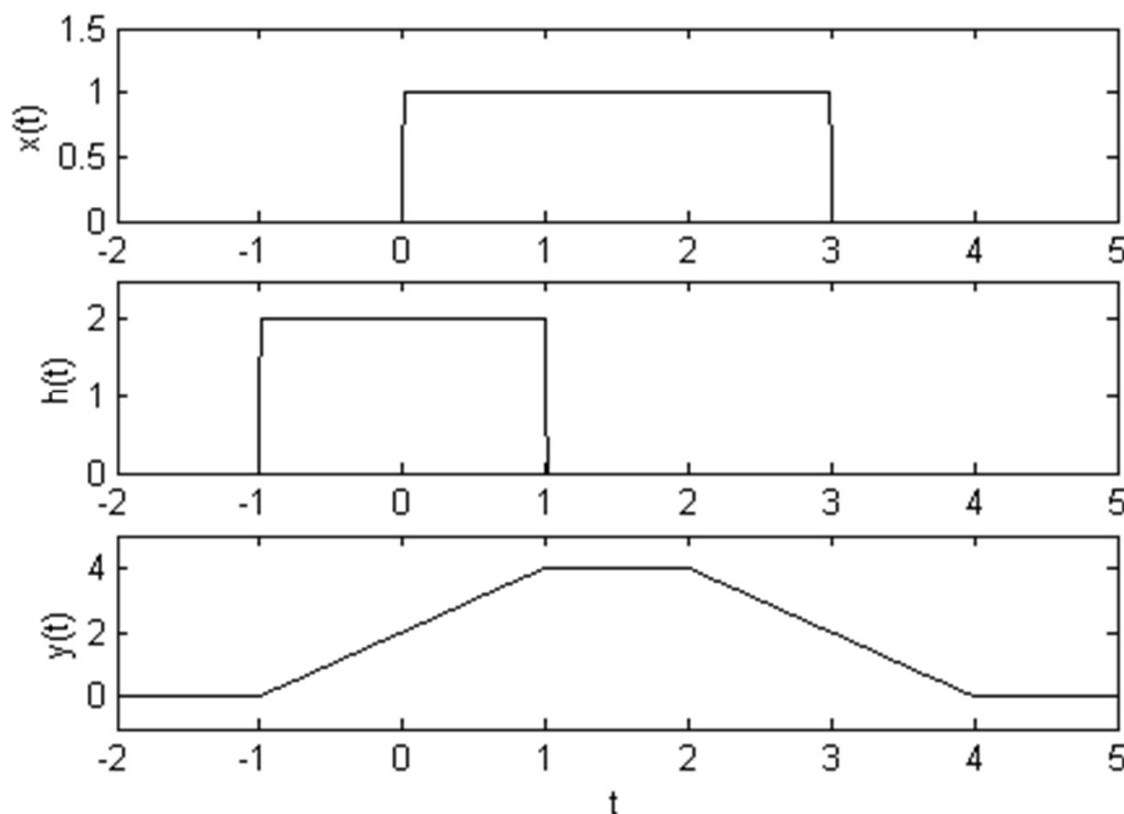
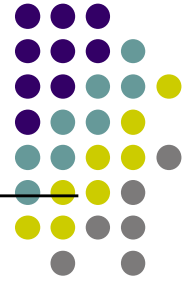


图2-36 例2-24的运行结果图



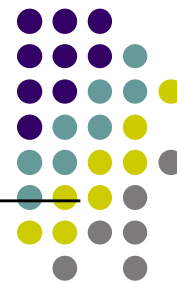
MATLAB演示



```
T = 0.01; t = -2 : T : 5; L = length(t);  
h = 2 * 0.5 * ((sign(t + 1) + 1) - (sign(t - 1) + 1));  
x = 0.5 * ((sign(t) + 1) - (sign(t - 3) + 1));  
y = conv(T * h, x); t1 = -4 : T : 10;  
subplot(3,1,1); plot(t, x);  
xlabel('t'); ylabel('x(t)'); axis([-2 5 0 1.5]);  
subplot(3,1,2); plot(t, h);  
xlabel('t'); ylabel('h(t)'); axis([-2 5 0 2.5]);  
subplot(3,1,3); plot(t1, y);  
xlabel('t'); ylabel('y(t)'); axis([-2 5 -1 5]);
```



2.1.4 卷积积分的性质



卷积积分有一些有用的性质，掌握这些有用的性质可以简化卷积运算，同时也给信号与系统的分析提供了非常有用的分析方法，从中可以得出不少重要的结果。



2.1.4 卷积积分的性质

一、卷积代数

• 1. 交换律

$$x(t) * h(t) = h(t) * x(t)$$

$$\int_{-\infty}^{\infty} x(\tau)h(t - \tau) \cdot d\tau = \int_{-\infty}^{\infty} h(\tau)x(t - \tau) \cdot d\tau$$

即：

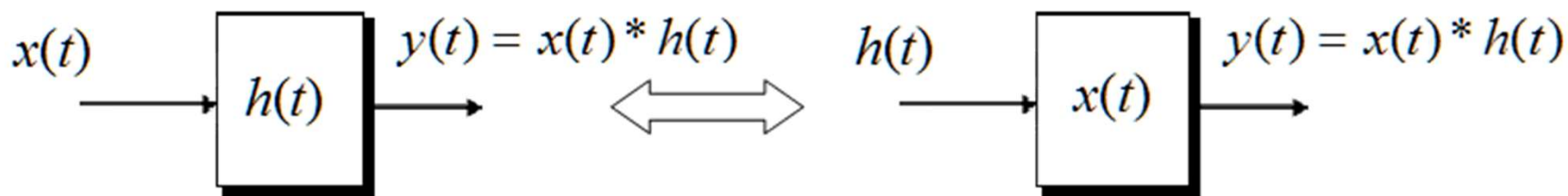
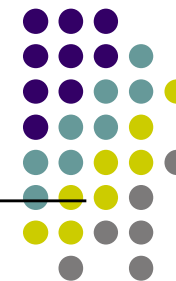


图2-9 从系统分析的观点解释卷积的交换律

卷积积分的交换律表明：卷积与两个信号的顺序无关。



2.1.4 卷积积分的性质

- 2. 结合律

$$[x(t) * h_1(t)] * h_2(t) = x(t) * [h_1(t) * h_2(t)]$$

考查如图所示的级联系统

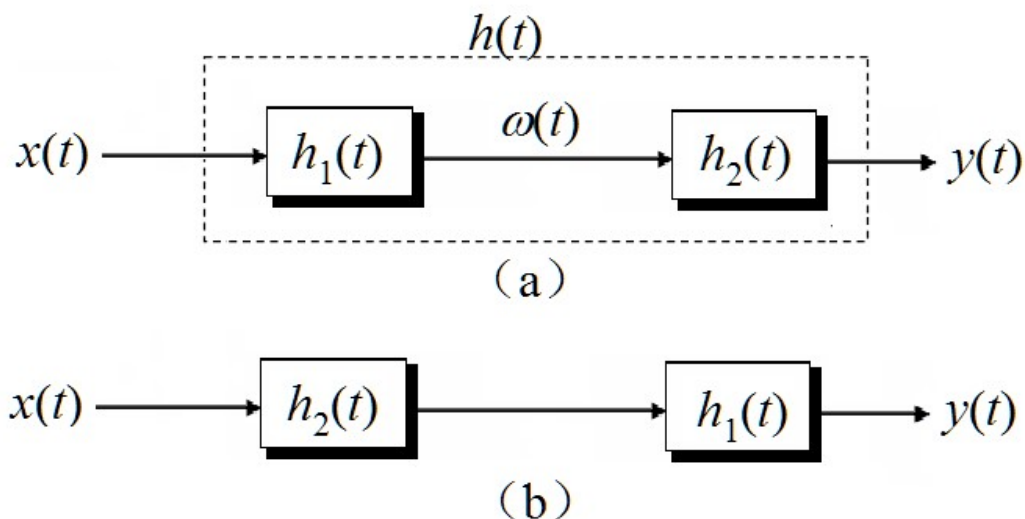


图2-10 卷积结合律及交换律的系统意义



2.1.4 卷积积分的性质



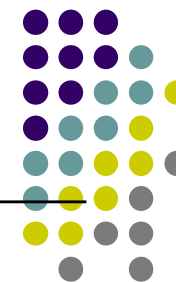
根据卷积积分，有 $\omega(t) = x(t) * h_1(t)$, $y(t) = \omega(t) * h_2(t)$
$$= (x(t) * h_1(t)) * h_2(t)$$

由结合律有 $y(t) = x(t) * (h_1(t) * h_2(t))$
$$= x(t) * h(t)$$

再根据交换律，可得 $y(t) = x(t) * (h_1(t) * h_2(t))$
$$= x(t) * (h_2(t) * h_1(t))$$

$$= (x(t) * h_2(t)) * h_1(t)$$

重要结论：LTI系统的级联，与各子系统的次序无关，即各子系统连接的顺序可以调换，总的响应为各子系统的卷积。



2.1.4 卷积积分的性质

- 3. 分配律

$$x(t) * [h_1(t) + h_2(t)] = x(t) * h_1(t) + x(t) * h_2(t)$$

考查图2-11所示并联LTI系统

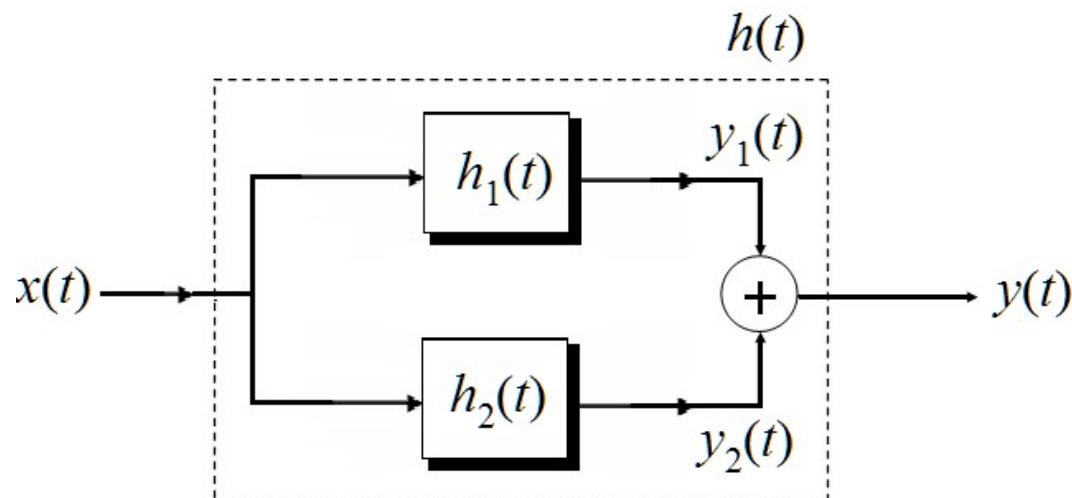
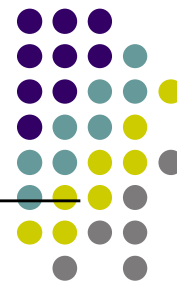


图2-11 分配律的系统意义



2.1.4 卷积积分的性质



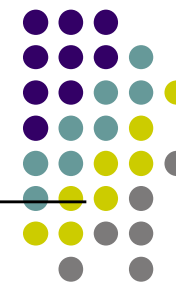
我们有 $y_1(t) = x(t) * h_1(t)$ $y_2(t) = x(t) * h_2(t)$

$$\begin{aligned} y(t) &= y_1(t) + y_2(t) \\ &= x(t) * h_1(t) + x(t) * h_2(t) \end{aligned}$$

根据分配律有

$$y(t) = x(t) * (h_1(t) + h_2(t)) = x(t) * h(t)$$

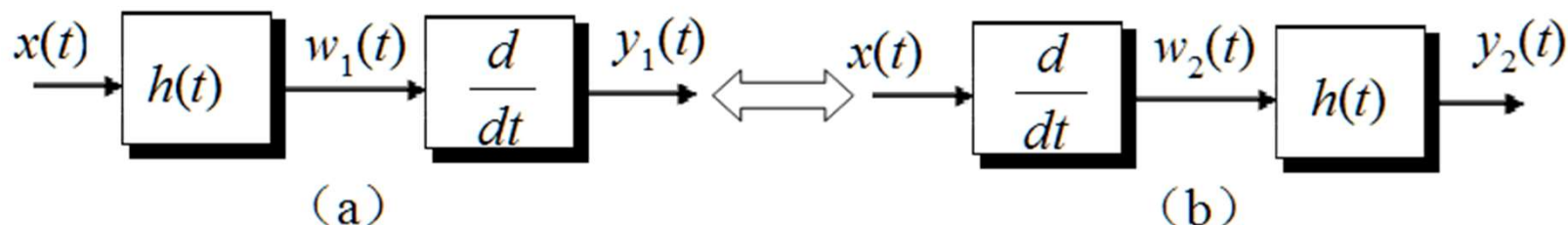
分配律性质表明，并联LTI系统总的单位冲激响应等于各子系统单位冲激响应之和。



2.1.4 卷积积分的性质

二、卷积的微分与积分特性

- 1. 卷积的微分性质



从上述的卷积的代数性质可知，图所示的两个级联系统是完全等价，即 $y_1(t)=y_2(t)$ 。结合卷积的代数性质，我们有

$$\begin{aligned} w_1(t) &= x(t) * h(t) & y_1(t) &= \frac{dw_1(t)}{dt} = \frac{d}{dt} [x(t) * h(t)] \\ w_2(t) &= \frac{dx(t)}{dt} & y_2(t) &= w_2(t) * h(t) = \frac{dx(t)}{dt} * h(t) \end{aligned}$$



2.1.4 卷积积分的性质

由于 $y_1(t) = y_2(t)$ 因此有

$$\frac{d}{dt} [x(t) * h(t)] = \frac{dx(t)}{dt} * h(t)$$

利用交换律，可得

$$\frac{d}{dt} [x(t) * h(t)] = \frac{d}{dt} [h(t) * x(t)] = \frac{dh(t)}{dt} * x(t) = x(t) * \frac{dh(t)}{dt}$$

卷积的微分性质：

$$\frac{d}{dt} [x(t) * h(t)] = \frac{dx(t)}{dt} * h(t) = x(t) * \frac{dh(t)}{dt}$$



2.1.4 卷积积分的性质

- 2. 卷积的积分性质

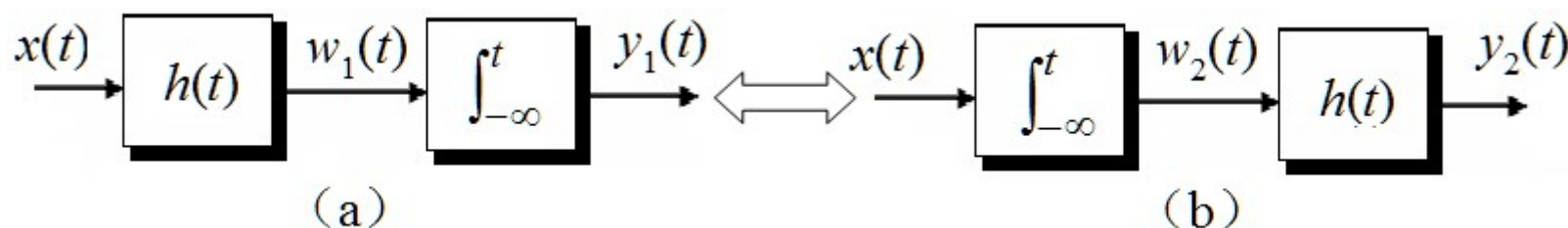


图2-13 卷积积分的图解说明

与卷积的微分性质相类似，同样我们可得卷积的积分性质：

$$\int_{-\infty}^t [x(\lambda) * h(\lambda)] \cdot d\lambda = \left[\int_{-\infty}^t x(\lambda) \cdot d\lambda \right] * h(t) = x(t) * \left[\int_{-\infty}^t h(\lambda) \cdot d\lambda \right]$$

其证明与微分性质的证明一样，可利用上面所示的图解说明。



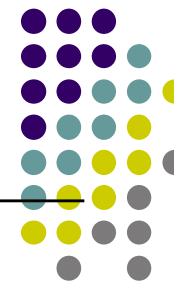
2.1.4 卷积积分的性质

● 3. 推广

应用上述推演方法，可以导出卷积的高阶导数或多重积分的性质：

设 $r(t) = [x_1(t) * x_2(t)]$ ，则有 $r^{(i)}(t) = x_1^{(j)}(t) * x_2^{(i-j)}(t)$

其中，当 i 、 j 、 $i-j$ 取正整数时为导数的阶次，取负整数时为重积分的次数，等式两边必须满足 $i = j + (i - j)$ 。



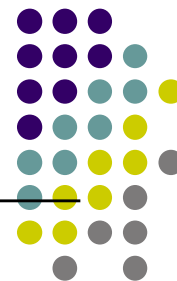
2.1.4 卷积积分的性质

一个特例是取 $i = 0$, $j = 1$, $i - j = -1$, 或取 $i = 0$, $j = -1$, $i - j = 1$, 我们有

$$\begin{aligned} r(t) &= r^{(0)}(t) = x_1^{(1)} t * x_2^{(-1)}(t) \\ &= x_1^{(-1)}(t) * x_2^{(1)}(t) \end{aligned}$$

即

$$\begin{aligned} r(t) &= \frac{dx_1(t)}{dt} * \int_{-\infty}^t x_2(t) \cdot dt \\ &= \int_{-\infty}^t x_1(t) \cdot dt * \frac{dx_2(t)}{dt} \end{aligned}$$



2.1.4 卷积积分的性质

三、与冲激函数 $\delta(t)$ 和阶跃函数 $u(t)$ 的卷积：

$$x(t) * \delta(t) = x(t)$$

$$x(t) * \delta(t - t_0) = x(t - t_0)$$

对于冲激偶 $\delta'(t)$ ，有

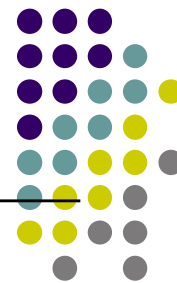
$$x(t) * \delta'(t) = x'(t) * \delta(t) = x'(t)$$

对于单位阶跃函数 $u(t)$ ，可得：

$$x(t) * u(t) = x(t) * \int_{-\infty}^t \delta(t) \cdot dt = \int_{-\infty}^t x(t) \cdot dt * \delta(t) = \int_{-\infty}^t x(t) \cdot dt$$



2.1.4 卷积积分的性质



推广到更一般的情况，我们有

$$x(t) * \delta^{(k)}(t) = x^{(k)}(t) * \delta(t) = x^{(k)}(t)$$

$$x(t) * \delta^{(k)}(t - t_0) = x^{(k)}(t) * \delta(t - t_0) = x^{(k)}(t - t_0)$$

当 k 取正整数时表示导数阶次， k 取负整时为重积分的次数。

例如 $x^{(-1)}(t)$ 表示 $x(t)$ 一次积分。 $\delta^{(-1)}(t) = u(t)$

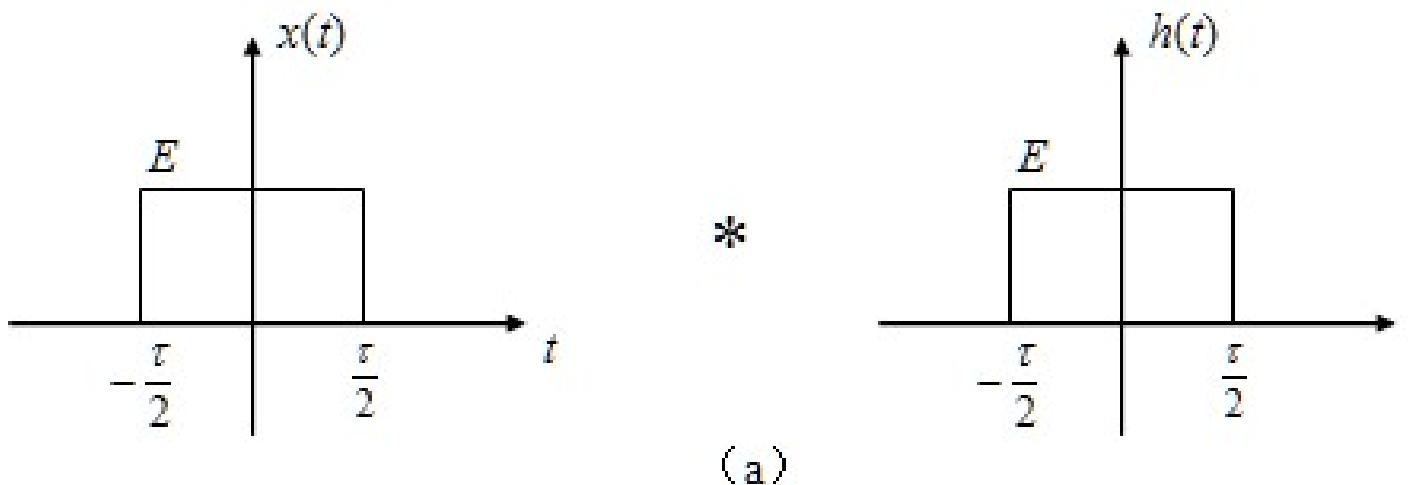


例2.4

【例2.4】用卷积性质计算图2-15(a)所示两信号的卷积。

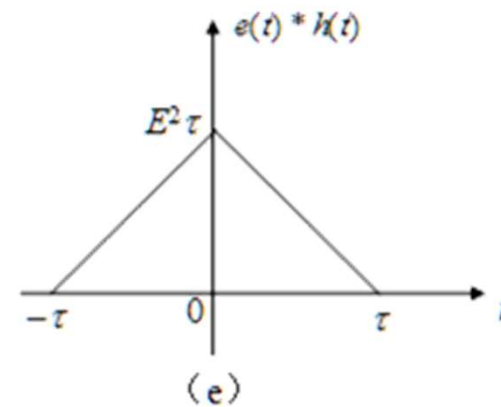
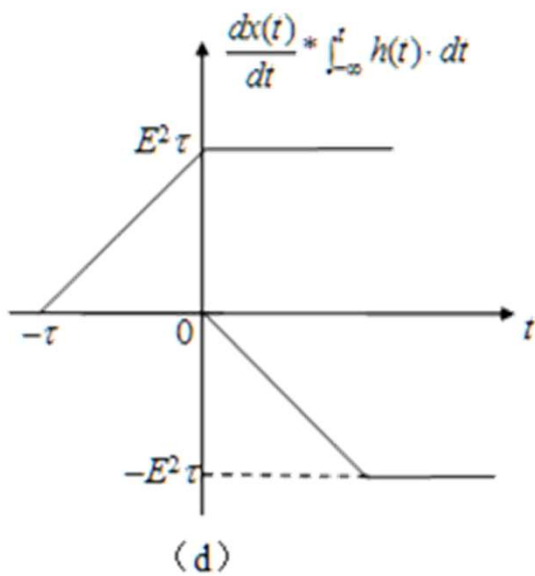
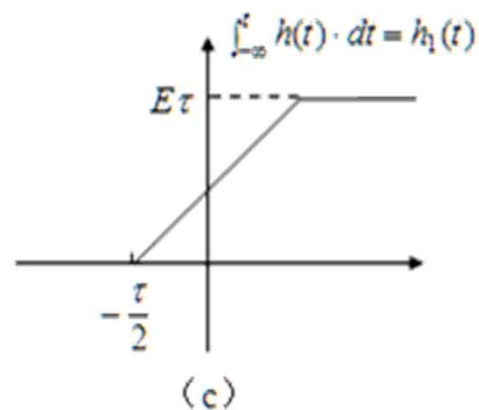
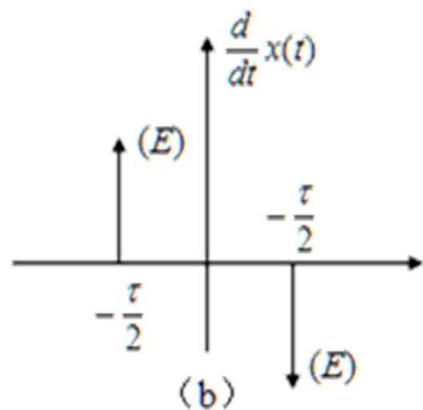
解：利用

$$y(t) = x(t) * h(t) = \frac{d}{dt} x(t) * \int_{-\infty}^t h(t) \cdot dt$$





例2.4





§ 2.0 引言

§ 2.1 连续时间LTI系统的时域分析

§ 2.2 离散时间LTI系统的时域分析

§ 2.3 单位冲激/脉冲响应与LTI系统性质

§ 2.4 LTI系统的微分、差分方程描述

§ 2.5 LTI系统的响应分解

§ 2.6 LTI系统的框图表示



2.2.1 离散时间信号的单位脉冲分解

- 展开为:

$$x[n] = \cdots + x[-2]\delta[n+2] + x[-1]\delta[n+1] + x[0]\delta[n] + x[1]\delta[n-1] + \cdots$$



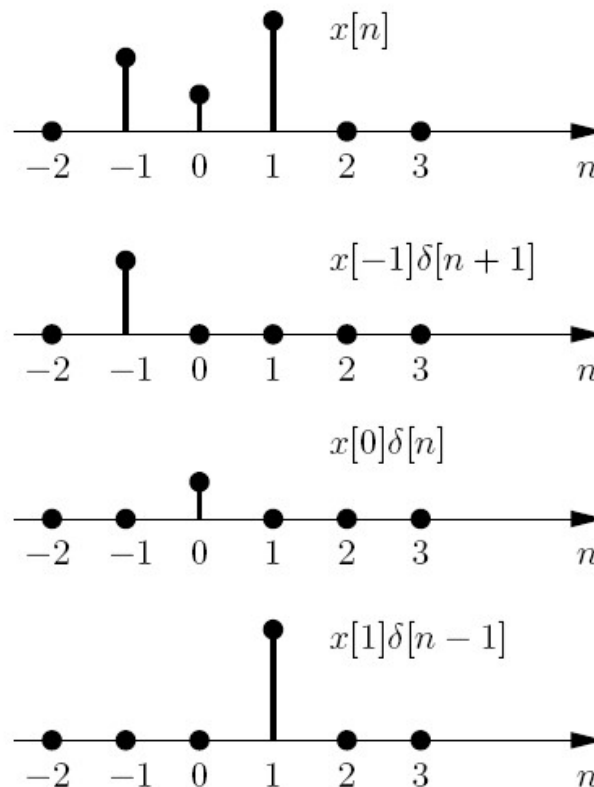
$$x[n] = \sum_{k=-\infty}^{\infty} \underbrace{x[k]}_{\text{Coefficients}} \underbrace{\delta[n-k]}_{\text{Basic Signals}}$$

Coefficients

Basic Signals



2.2.1 离散时间信号的单位脉冲分解



$$x[n] = x[-1]\delta[n+1] + x[0]\delta[n] + x[1]\delta[n-1]$$

图2-16 一个离散时间信号分解为一组加权的移位脉冲之和



例2.5



【例2.5】 用单位脉冲表示单位阶跃信号 $u[n]$ 。

$$u[n] = \sum_{k=-\infty}^{\infty} u[k] \delta[n-k]$$

因为 $k < 0$ 时, $u[k] = 0$, 而 $k \geq 0$ 时, $u[k] = 1$, 上式可表示为

$$u[n] = \sum_{k=0}^{\infty} \delta[n-k]$$

如我们做变量替换 $n - k = m$, $u[n]$ 还可以表示另一种形式, 即

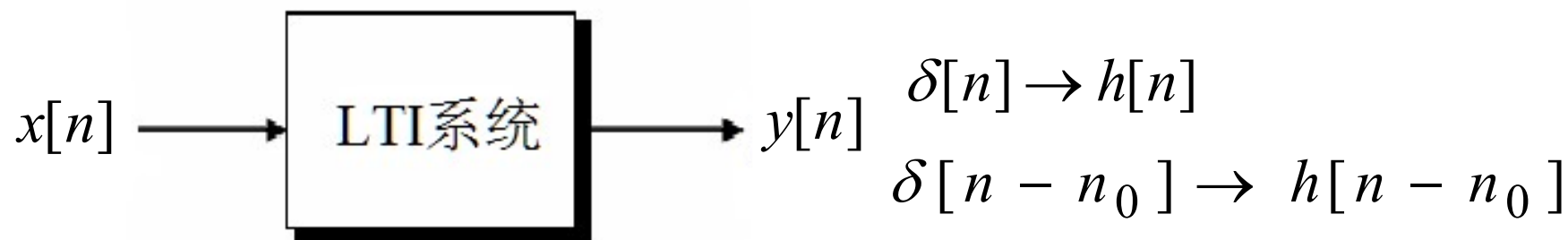
$$u[n] = \sum_{m=n}^{-\infty} \delta[m] = \sum_{m=-\infty}^n \delta[m]$$

上式表明, $u[n]$ 也可表示为单位脉冲信号的累加。



2.2.2 卷积和与单位脉冲响应

- 为了说明其基本原理，考虑以下LTI系统。



其中， $h[n]$ 称为系统的单位脉冲响应。

将 $x[n]$ 分解为移位冲激信号的线性组合：

$$x[n] = \sum_{k=-\infty}^{\infty} x[k] \cdot \delta[n - k]$$



2.2.2 卷积和与单位脉冲响应



- 根据LTI系统的齐次性，有

$$x[k] \cdot \delta[n - k] \rightarrow x[k] \cdot h[n - k]$$

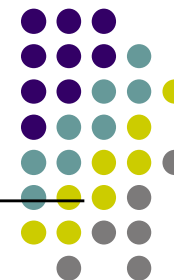
- 再根据LTI系统的叠加性，我们有

$$\sum_{k=-\infty}^{\infty} x[k] \delta[n - k] \rightarrow \sum_{k=-\infty}^{\infty} x[k] h[n - k]$$

- 有

$$y[n] = \sum_{k=-\infty}^{\infty} x[k] \cdot h[n - k] = x[n] * h[n]$$

简称卷积和



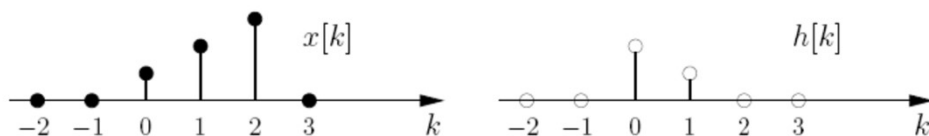
2.2.2 卷积和与单位脉冲响应

卷积和的意义

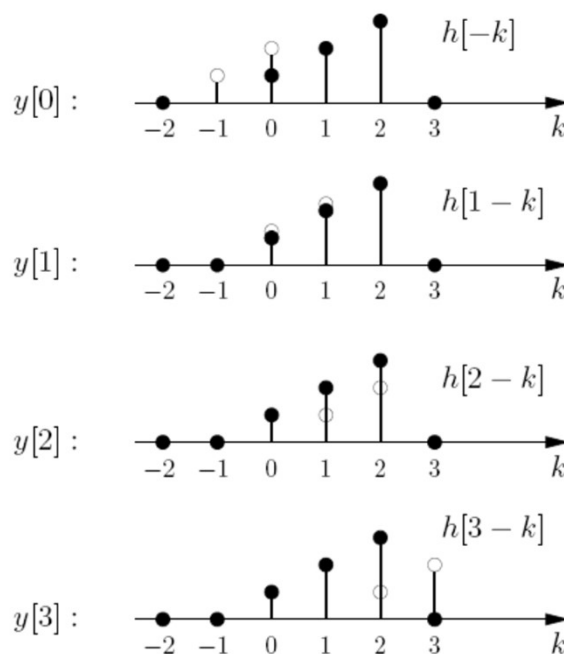
1. 离散时间LTI系统对输入信号的响应过程可以看作是两个信号相互作用的过程：卷积和运算。
2. 单位脉冲响应 $h[n]$ 可以完全表征系统。
3. 单位冲激响应给出离散时间LTI系统更一般的描述方法。



2.2.2 卷积和与单位脉冲响应



*

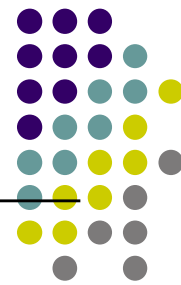


卷积和图示法:

1. 反转: $h[k] \Rightarrow h[-k]$
2. 平移: $h[n - k]$
3. 相乘求和: $\sum_{k=-\infty}^{\infty} x[k]h[n - k]$



MATLAB演示



【例2-23】已知： $x[n] = (0.5)^n u[n]$ ， $h[n] = (0.8)^n u[n]$

求 $y[n] = x[n] * h[n]$ 。

解：源程序如下

```
n = 0:100;
```

```
x = (1/2).^n;
```

```
h = (0.8).^n;
```

```
y = conv(x,h);
```

```
subplot(3,1,1);stem(n,x);
```

```
xlabel('n');ylabel('x[n]');
```

```
axis([0 20 0 1.5]);grid on;
```

```
subplot(3,1,2);stem(n,h);
```

```
xlabel('n');ylabel('h[n]');
```

```
axis;
```

```
subplot(3,1,3);
```

```
stem(0:length(y)-1,y);
```

```
xlabel('n');ylabel('x[n]*h[n]');
```

```
axis([0 20 0 1.5]);grid on;
```



MATLAB演示

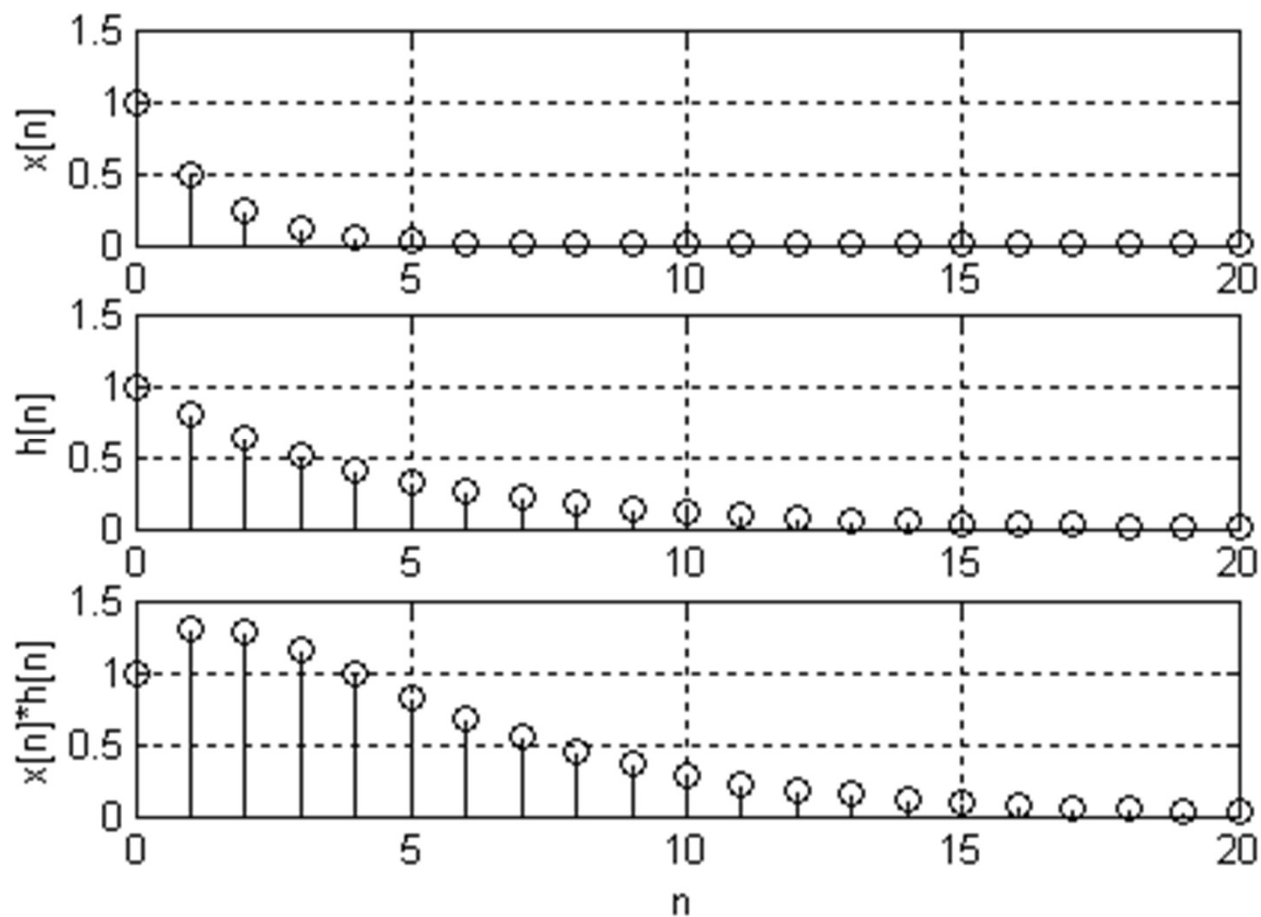


图2-35 例2.23的运行结果图



2.2.3 卷积和的性质

1. 卷积和的代数性质

- 交换律: $x[n] * h[n] = h[n] * x[n]$
- 结合律: $x[n] * (h_1[n] * h_2[n]) = (x[n] * h_1[n]) * h_2[n]$
- 分配律: $x[n] * (h_1[n] + h_2[n]) = x[n] * h_1[n] + x[n] * h_2[n]$

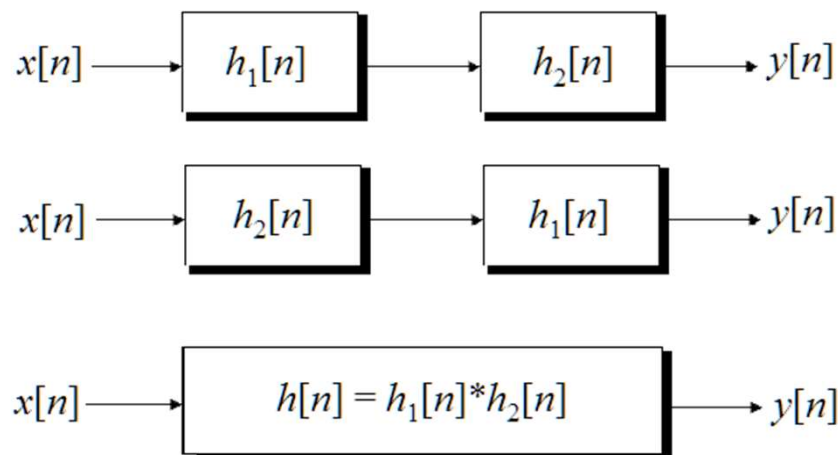
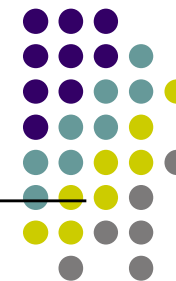


图2-19 离散时间LTI系统的级联



2.2.3 卷积和的性质

2. 与冲激脉冲序列 $\delta[n]$ 和阶跃函数 $u[n]$ 的卷积

$$x[n] * \delta[n] = x[n]$$

进一步有 $x[n] * \delta[n - n_0] = x[n - n_0]$

任意信号 $x[n]$ 与单位阶跃 $u[n]$ 的卷积和，可表示为：

$$x[n] * u[n] = \sum_{k=-\infty}^n x[k]$$

推论：

(1) $x[n - n_1] * \delta[n - n_2] = x[n - n_1 - n_2]$

(2) 若： $x[n] * h[n] = y[n]$

则： $x[n - n_1] * h[n - n_2] = y[n - n_1 - n_2]$



§ 2.0 引言

§ 2.1 连续时间LTI系统的时域分析

§ 2.2 离散时间LTI系统的时域分析

§ 2.3 单位冲激/脉冲响应与LTI系统性质

§ 2.4 LTI系统的微分、差分方程描述

§ 2.5 LTI系统的响应分解

§ 2.6 LTI系统的框图表示



2.3.1 LTI系统的可逆性与可逆系统

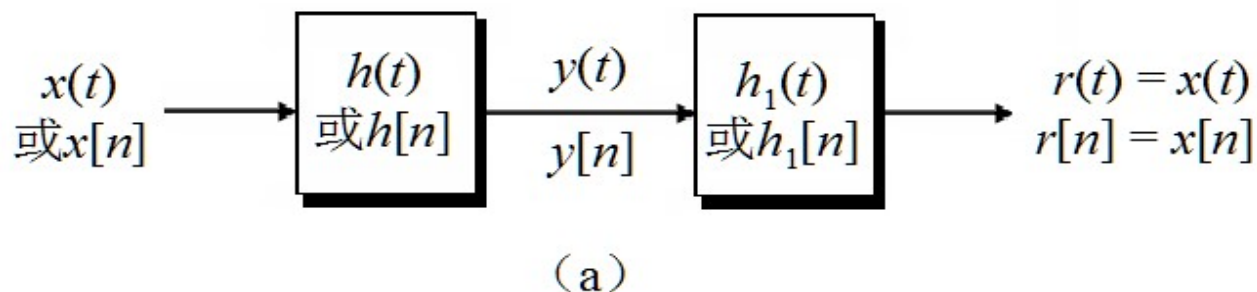
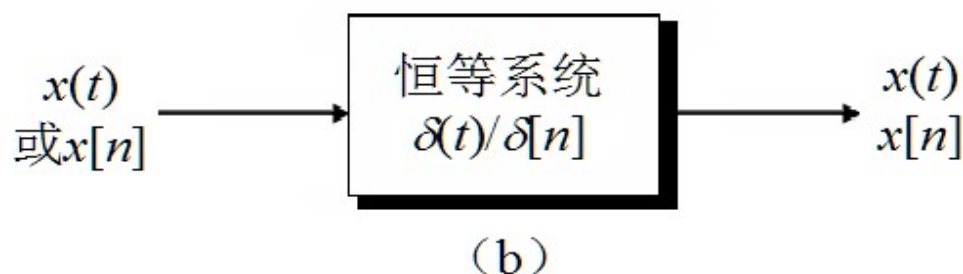


图2-20 LTI系统的可逆性



LTI逆系统与原系统存在以下关系：

$$h(t) * h_1(t) = \delta(t) \qquad h[n] * h_1[n] = \delta[n]$$

根据上式，可以构造LTI系统的可逆性及其逆系统。



例2.8



【例2.8】 一个连续时间LTI系统的输入输出关系为

$$y(t) = \frac{dx(t)}{dt} + x(t)$$

试求它的逆系统。

解：将 $x(t) = \delta(t)$ 代入方程，可得该系统的单位冲激响应 $h(t)$

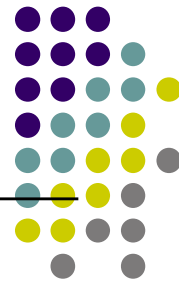
$$h(t) = \delta'(t) + \delta(t)$$

设该系统的逆系统为 $h_1(t)$ ，则有

$$h(t) * h_1(t) = \delta(t)$$



例2.8



将 $h(t) = \delta'(t) + \delta(t)$ 代入上式,再根据 $\delta(t)$ 的卷积性质,有

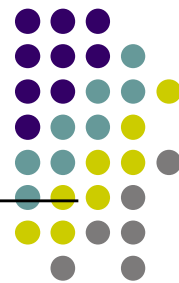
$$(\delta'(t) + \delta(t)) * h_1(t) = h_1'(t) + h_1(t) = \delta(t)$$

观察上式,可知 $h_1(t)$ 为由方程 $y'(t) + y(t) = x(t)$ 描述的连续LTI系统的单位冲激响应,故可求得逆系统为

$$y'(t) + y(t) = x(t)$$



例2.9



【例2.9】 一离散时间累加器系统的输入输出关系为

$$y[n] - y[n-1] = x[n]$$

试求它的逆系统。

解：根据单位脉冲 $\delta[n]$ 的卷积和性质，可将上述输入输出关系重新写为

$$y[n] * (\delta[n] - \delta[n-1]) = x[n] \quad [A]$$

将原系统脉冲响应代入上式，得

$$h[n] * (\delta[n] - \delta[n-1]) = \delta[n]$$

根据逆系统的定义，可得逆系统

$$h_1[n] = \delta[n] - \delta[n-1]$$

为一差分器。



例2.9



实际上，由[A]式，我们可得

$$y[n] * (\delta[n] - \delta[n-1]) * u[n] = x[n] * u[n]$$

等式左边化简得

$$y[n] * (u[n] - u[n-1]) = x[n] * u[n] \quad [B]$$

由 $u[n]$ 的卷积和性质及与 $\delta[n]$ 的关系

$$x[n] * u[n] = \sum_{n=-\infty}^n x[n] \quad u[n] - u[n-1] = \delta[n]$$

式[B]可变为 $y[n] * \delta[n] = \sum_{n=-\infty}^n x[n]$ ，即 $y[n] = \sum_{n=-\infty}^n x[n]$ ，为一累加器。

因此，累加器的逆系统为一差分器。



2.3.2 LTI系统的稳定性



- 对于稳定的系统：有界的输入必产生有界的输出。

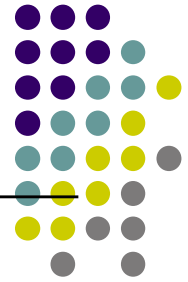
- 充要条件为：

$$\int_{-\infty}^{\infty} |h(\tau)| \cdot d\tau < \infty$$

$$\sum_{n=-\infty}^{\infty} |h[n]| < \infty$$



2.3.2 LTI系统的稳定性



证明:

1. 必要条件:

设一具有单位冲激响应 $h(t)$ 的稳定LTI系统的输入信号为

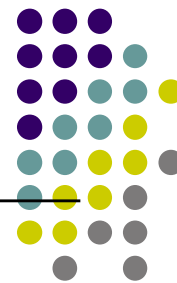
$$x(t) = \begin{cases} 0, & h(-t) = 0 \\ \frac{h(-t)}{|h(-t)|}, & h(-t) \neq 0 \end{cases}$$

显然 $x(t)$ 为一有界信号, $|x(t)| \leq 1$, 对所有 t 。
则系统输出为

$$y(t) = \int_{-\infty}^{\infty} h(\tau) \cdot x(t - \tau) \cdot d\tau$$



2.3.2 LTI系统的稳定性



因此, $t = 0$ 时, 输出 $y(0)$ 为

$$y(0) = \int_{-\infty}^{\infty} h(\tau)x(-\tau) \cdot d\tau = \int_{-\infty}^{\infty} |h(\tau)| \cdot d\tau$$

因为 $y(0)$ 为稳定系统在 $t = 0$ 时刻上的输出, $y(0)$ 必有界。

因此要求上式的右边积分值有界, 即

$$\int_{-\infty}^{\infty} |h(\tau)| \cdot d\tau < \infty \quad (2.43)$$

即系统的单位冲激响应绝对可积。

这就证明了 (2.43) 式是连续LTI系统稳定的必要条件。



2.3.2 LTI系统的稳定性



2. 充分条件:

设系统的输入 $x(t)$ 为有界, 即

$$|x(t)| \leq B \quad \text{对所有 } t$$

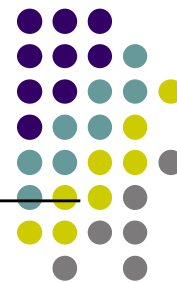
则系统输出的绝对值为

$$\begin{aligned} |y(t)| &= \left| \int_{-\infty}^{\infty} h(\tau) x(t-\tau) \cdot d\tau \right| \\ &\leq \int_{-\infty}^{\infty} |h(\tau)| \cdot |x(t-\tau)| \cdot d\tau \\ &\leq B \int_{-\infty}^{\infty} |h(\tau)| \cdot d\tau \end{aligned}$$

如 $\int_{-\infty}^{\infty} |h(\tau)| \cdot d\tau < \infty$, 有 $|y(t)| \leq B \int_{-\infty}^{\infty} |h(\tau)| \cdot d\tau < \infty$



2.3.2 LTI系统的稳定性



用完全类似的方法可得到离散LTI系统稳定的充要条件为

$$\sum_{n=-\infty}^{\infty} |h[n]| < \infty$$

即系统的单位脉冲响应绝对可和。



例2.10

【例2.10】 考查累加器的稳定性。

解：

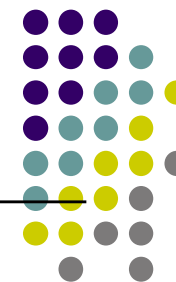
$$y[n] = \sum_{k=-\infty}^n x[k]$$

因为累加器的单位脉冲响应 $h[n] = u[n]$ ，因此有

$$\sum_{n=-\infty}^{\infty} |h[n]| = \sum_{n=-\infty}^{\infty} u[n] = \sum_{n=0}^{\infty} 1 = \infty$$

所以累加器是非稳定系统。





2.3.3 LTI系统的因果性

一个因果系统的输出仅决定于现在和过去时刻的系统输入值。

- 考虑离散时间LTI系统，其输出可表示为：

$$y[n] = \sum_{k=-\infty}^{\infty} x[k]h[n-k] = \sum_{k=-\infty}^n x[k]h[n-k] + \sum_{k=n+1}^{\infty} x[k]h[n-k]$$

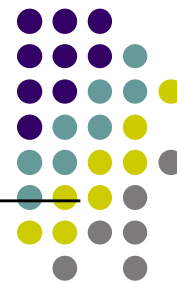
- 分析：

上式中的第二项与将来的输入有关，为保证其输出与将来的输入无关，必使第二项等于零。

即在 $k > n$ 时 ($n - k < 0$), $h(n - k) = 0$



2.3.3 LTI系统的因果性



- 离散时间LTI系统的因果性的充要条件:

$$h[n] = 0, \quad n < 0$$

- 同理, 一个连续时间LTI系统因果性的充要条件为:

$$h(t) = 0, \quad t < 0$$



例2.11



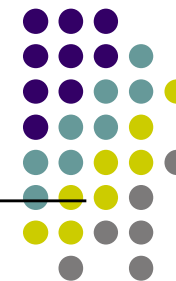
【例2.11】 考查系统 $y(t) = x(t - t_0)$ 。

其冲激响应为 $h(t) = \delta(t - t_0)$ 。

当 $t_0 \geq 0$ 时，是因果系统，系统为一延时器；

当 $t_0 < 0$ 时，是非因果系统，系统的输出超前输入。

同样，对于离散LTI系统 $y[n] = x[n - n_0]$ ，仅当 $n_0 \geq 0$ 时，才是一因果系统，系统是一离散时间的延时器。



2.3.4 LTI系统的单位阶跃响应

- 连续时间LTI系统，其单位阶跃响应为

$$s(t) = u(t) * h(t) = \int_{-\infty}^t h(\tau) \cdot d\tau$$

- 离散时间LTI系统，其单位阶跃响应为

$$s[n] = u[n] * h[n] = \sum_{k=-\infty}^n h[k]$$



2.3.4 LTI系统的单位阶跃响应

阶跃响应和冲激响应之间的关系：

- 连续时间LTI系统

$$s(t) = \int_{-\infty}^t h(\tau) \cdot d\tau \qquad h(t) = \frac{ds(t)}{dt}$$

$$y(t) = x(t) * h(t) = x(t) * \frac{ds(t)}{dt} = \frac{dx(t)}{dt} * s(t)$$

- 离散时间LTI系统

$$s[n] = \sum_{k=-\infty}^n h[k] \qquad h[n] = s[n] - s[n-1]$$

$$y[n] = x[n] * h[n] = x[n] * (s[n] - s[n-1]) = (x[n] - x[n-1]) * s[n]$$



MATLAB演示



【例2-20】 求解方程

$$\frac{d^2 y(t)}{dt^2} + 4 \frac{dy(t)}{dt} + 3y(t) = \frac{dx(t)}{dt} + 3x(t), \quad x(t) = e^{-t} \cdot u(t)$$

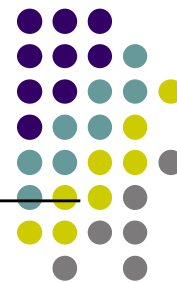
的单位冲激响应和单位阶跃响应。

解：源程序如下

```
ts = 0; te = 10; dt = 0.01;  
sys = tf([1 3],[1 4 3]);  
t = ts : dt : te;  
x = exp(-1*t);  
h = impulse(sys,t); %计算单位冲激响应  
s = step(sys,t); %计算单位阶跃响应
```



MATLAB演示



```
subplot(3,1,1);plot(t,h);xlabel('t(sec)');ylabel('h(t)');  
axis([t(1) t(length(t)) -1 1]); grid on;  
subplot(3,1,2);plot(t,s);xlabel('t(sec)');ylabel('s(t)');  
axis([t(1) t(length(t)) 0 1.5]); grid on;
```

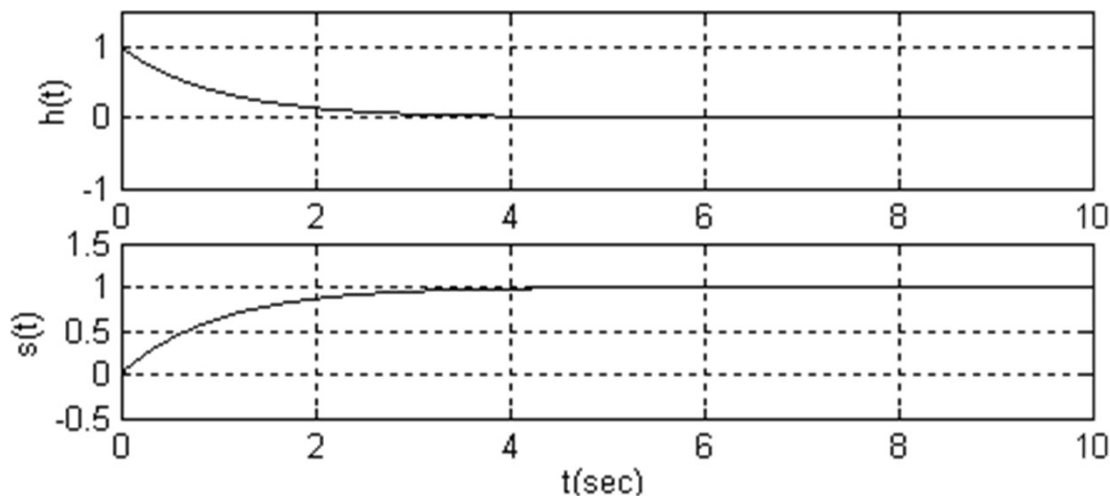


图2-32-1 例2-20的运行结果图



§ 2.0 引言

§ 2.1 连续时间LTI系统的时域分析

§ 2.2 离散时间LTI系统的时域分析

§ 2.3 单位冲激/脉冲响应与LTI系统性质

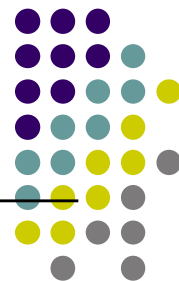
§ 2.4 LTI系统的微分、差分方程描述

§ 2.5 LTI系统的响应分解

§ 2.6 LTI系统的框图表示



2.4 LTI系统的微分、差分方程描述



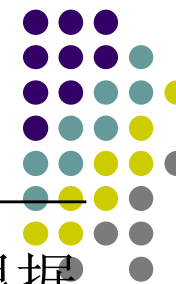
- 通常可用微分方程来描述连续时间系统，用差分方程来描述离散时间系统，即通过输出与输入间的关系来描述系统。
- 除了用卷积法求解系统的响应方法外，另一种方法是求解表征LTI系统的方程。

对于连续时间LTI系统：微分方程

对于离散时间LTI系统：差分方程



2.4 LTI系统的微分、差分方程描述



连续时间LTI系统的数学模型是常系数线性微分方程。可根据实际系统的结构、元件特性，利用有关基本定律来建立对应的微分方程。

- 高阶连续时间LTI的微分方程表示：

$$\begin{aligned} & a_n \frac{d^n}{dt^n} y(t) + a_{n-1} \frac{d^{n-1}}{dt^{n-1}} y(t) + \cdots + a_1 \frac{d}{dt} y(t) + a_0 y(t) \\ &= b_m \frac{d^m}{dt^m} x(t) + b_{m-1} \frac{d^{m-1}}{dt^{m-1}} x(t) + \cdots + b_1 \frac{d}{dt} x(t) + b_0 x(t) \end{aligned}$$

或缩写为：

$$\sum_{k=0}^n a_k \frac{d^k}{dt^k} y(t) = \sum_{k=0}^m b_k \frac{d^k}{dt^k} x(t)$$



例2.13

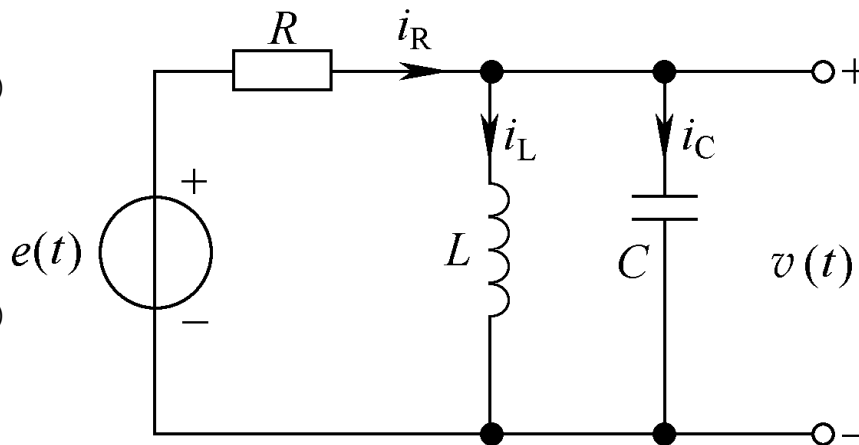
【例2.13】图2-22所示为LC并联电路，求并联端电压 $v(t)$ 与激励源 $e(t)$ 间关系。

解：根据元件的电压电流关系有

电感： $i_L(t) = \frac{1}{L} \int_{-\infty}^t v(\tau) d\tau$ (2.55-1)

电容： $i_C(t) = C \frac{d}{dt} v(t)$ (2.55-2)

电阻： $i_R(t) = \frac{e(t) - v(t)}{R}$ (2.55-3)





例2.13

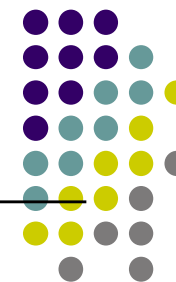


根据KCL定律，有

$$i_R(t) = i_L(t) + i_C(t)$$

将式（2.55-1）、式（2.55-2）和式（2.55-3）代入上式并化简得

$$C \frac{d^2}{dt^2} v(t) + \frac{1}{R} \frac{d}{dt} v(t) + \frac{1}{L} v(t) = \frac{1}{R} \frac{d}{dt} e(t)$$



2.4 LTI系统的微分、差分方程描述

全解由两部分组成：齐次解 $y_h(t)$ 和特解 $y_p(t)$ 。

$$y(t) = y_h(t) + y_p(t)$$

- 1. 齐次解

齐次解是下面方程的解：

$$\frac{d^n}{dt^n} y(t) + a_{n-1} \frac{d^{n-1}}{dt^{n-1}} y(t) + \cdots + a_1 \frac{d}{dt} y(t) + a_0 y(t) = 0$$

其特征方程为 $\lambda^n + a_{n-1} \lambda^{n-1} + \cdots + a_1 \lambda + a_0 = 0$

其 n 个根 λ_i ($i = 1, 2, \dots, n$) 称为微分方程的特征根。

齐次解 $y_h(t)$ 的函数形式由特征根确定。



2.4 LTI系统的微分、差分方程描述

不同特征根所对应的齐次解的函数形式

特征根 λ_i	各特征根 λ_i 在齐次解 $y_h(t)$ 中的函数形式
单实根 (非重根)	$c_i e^{\lambda_i(t)}$
k 重实根	$(c_1 t^{k-1} + c_2 t^{k-2} + \cdots + c_{k-1} t + c_k) e^{\lambda_i(t)}$
一对共轭复根 $\lambda_{1,2} = a \pm j\beta$	$e^{at}(c_1 \cos \beta t + c_2 \sin \beta t)$ 或 $Ae^{at} \cos(\beta t - \theta)$, $Ae^{j\theta} = c_1 + jc_2$
k 重共轭复根	$c_1 t^{k-1} \cdot e^{at} \cos(\beta t + \theta_1) + c_2 t^{k-2} e^{at} \cos(\beta t + \theta_2) + \cdots + c_k e^{at} \cos(\beta t + \theta_k)$



2.4 LTI系统的微分、差分方程描述

(1) 无重根的情况下，微分方程的齐次解为

$$y_h(t) = C_1 e^{\lambda_1 t} + C_2 e^{\lambda_2 t} + \cdots + C_n e^{\lambda_n t} = \sum_{i=1}^n C_i e^{\lambda_i t}$$

其中常数 C_1, C_2, \dots, C_n 由系统的初始条件决定。

(2) 若特征根有实重根的情况下，则对应于 k 阶重根 λ_i 的部分将有 k 项

$$\left(c_1 t^{k-1} + c_2 t^{k-2} + \cdots + c_{k-1} t + c_k \right) e^{\lambda_i(t)}$$

其中常数 c_1, c_2, \dots, c_k 连同其它特征根所对应的项的系数，由系统的初始条件确定。

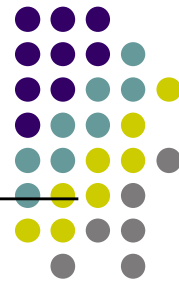


2.4 LTI系统的微分、差分方程描述

• 2. 特解

几种典型激励函数所对应特解的函数形式

激励函数 $x(t)$	响应函数 $y(t)$ 的特解 $y_p(t)$ 的函数形式
E (常数)	B
t^m	$B_1 t^m + B_2 t^{m-1} + \cdots + B_m t + B_{m+1}$, 所有特征根不等于 0 $t^r (B_1 t^m + B_2 t^{m-1} + \cdots + B_m t + B_{m+1})$, 有 r 重等于 0 的特征根
e^{at}	Be^{at} , a 不等于特征根 $B_1 t^r e^{at} + B_2 t^{r-1} e^{at} + \cdots + B_r t e^{at} + B_{r+1} e^{at}$, a 等于 r 重特征根, $r=1$ 时为单根
$\cos \beta t$ or $\sin \beta t$	$B_1 \cos \beta t + B_2 \sin \beta t$ 或 $A \cos(\beta t + \theta)$, $Ae^{j\theta} = B_1 + jB_2$ 所有特征根不等于 $\pm j\beta$
$t^m e^{at} \cos t$ 或 $t^m e^{at} \sin t$	$(B_1 t^m + \cdots + B_m t + B_{m+1}) e^{at} \cos t + (D_1 t^m + \cdots + D_m t + D_{m+1}) e^{at} \sin \beta t$ 所有特征根不等于 $a \pm j\beta$



2.4 LTI系统的微分、差分方程描述

- 3. 全解

方程完全解为 $y(t) = y_n(h) + y_p(t)$

若微分方程特征根互不相同则其全解可表示为

$$y(t) = \sum_{i=1}^n c_i e^{\lambda_i t} + y_p(t)$$

- 4. 待定系数确定

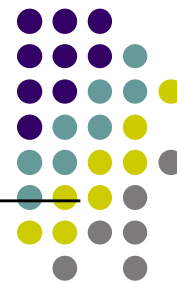
通常取 $t_0 = 0_+$ 的 n 个边界条件来确定 n 阶系统完全解中的待定系数。

初始条件: $t = 0_+$ 的 n 个边界条件 $y^{(k)}(0_+)$ ($k = 0, 1, \dots, n-1$)。

起始条件: $t = 0_-$ 的 n 个边界条件 $y^{(k)}(0_-)$ ($k = 0, 1, \dots, n-1$)。



2.4 LTI系统的微分、差分方程描述



在实际电路中，电容两端的电压和电感中的电流不会发生突变，即

$$v_c(0_+) = v_c(0_-)$$

$$i_L(0_+) = i_L(0_-)$$

然后根据电网络的拓扑结构和元件特性求得 0_+ 时刻其它电流或电压值（初始条件）。



例2.14



【例2.14】 给定线性常系数微分方程

$$\frac{d^2 y(t)}{dt^2} + 5 \frac{dy(t)}{dt} + 6 y(t) = f(t)$$

求：当 $f(t) = 2e^{-t} \cdot u(t)$; $y(0_+) = 2$, $y'(0_+) = -1$ 时的全解

解：（1）齐次解

特征方程为 $\lambda^2 + 5\lambda + 6 = 0$

其特征根 $\lambda_1 = -2$, $\lambda_2 = -3$ 。

方程的齐次解为 $y_h(t) = c_1 e^{-2t} + c_2 e^{-3t}$



例2.14



(2) 求特解

由表可知，当输入 $f(t) = 2e^{-t}$ 时，其特解可设为

$$y_p(t) = Be^{-t}$$

其一阶、二阶导数分别为

$$y'_p(t) = -Be^{-t} \quad y''_p(t) = Be^{-t}$$

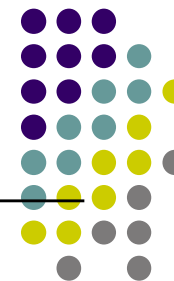
代入方程，得

$$Be^{-t} + 5(-Be^{-t}) + 6Be^{-t} = 2e^{-t}$$

由上式解得 $B = 1$ ，方程的特解： $y_p(t) = e^{-t}$



例2.14



(3) 微分方程的全解为

$$y(t) = y_h(t) + y_p(t) = c_1 e^{-2t} + c_2 e^{-3t} + e^{-t}$$

其一阶导数

$$y'(t) = -2c_1 e^{-2t} - 3c_2 e^{-3t} - e^{-t}$$

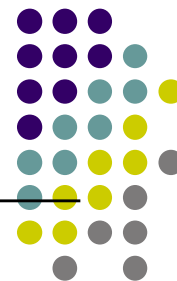
并将初始条件代入，得

$$\begin{cases} y(0_+) = c_1 + c_2 + 1 = 2 \\ y'(0_+) = -2c_1 - 3c_2 - 1 = -1 \end{cases}$$

由上式解得 $c_1 = 3$, $c_2 = -2$



例2.14



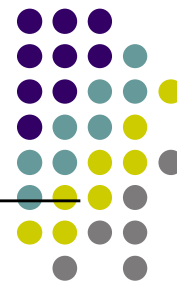
最后得微分方程的全解

$$y(t) = \underbrace{3e^{-2t} - 2e^{-3t}}_{\text{齐次解}} + \underbrace{e^{-t}}_{\text{特解}}, \quad t > 0$$

$$= \underbrace{(3e^{-2t} - 2e^{-3t})u(t)}_{\text{自由响应}} + \underbrace{e^{-t}u(t)}_{\text{强迫响应}}$$



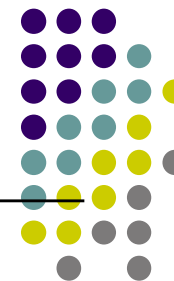
2.4 LTI系统的微分、差分方程描述



- 为确定自由响应部分的常数 ($i = 1, 2, \dots, n$), 还必须根据系统的起始状态和激励信号求出初始状态。



例子：求解系统响应



【例】 如图所示电路, $t < 0$ 时开关 S 处于 “1” 的位置而且已经达到稳态; 当 $t = 0$ 时, S 由 “1” 转向 “2”。建立电流 $i(t)$ 的微分方程, 并求解 $i(t)$ 在 $t \geq 0_+$ 的时域解。

解: (1) 求解电路的微分方程
列回路方程:

$$R \cdot i(t) + v_c(t) = e(t) \quad (1)$$

$$v_c(t) = L \frac{di_L(t)}{dt} \quad (2)$$

列结点方程:

$$i(t) = C \frac{dv_c(t)}{dt} + i_L(t) \quad (3)$$

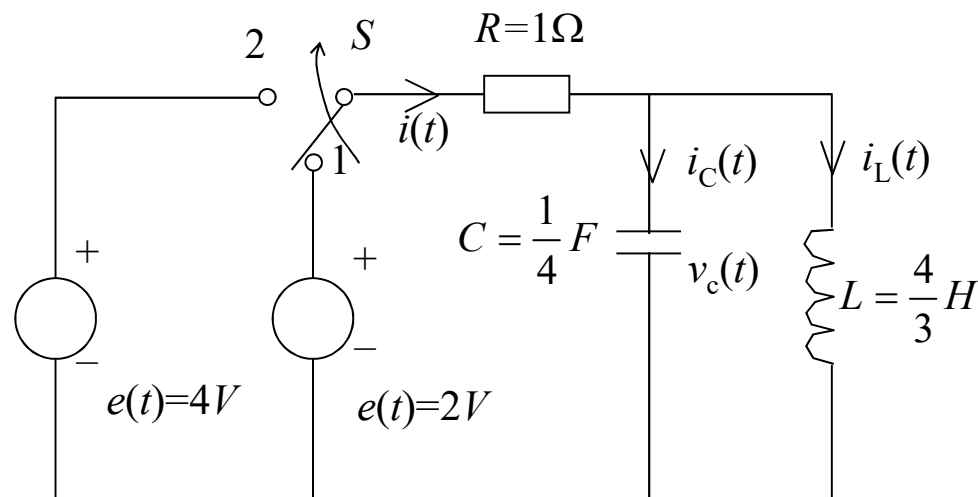


图 RLC 电路



例子：求解系统响应

对（3）式求导，并将（2）代入，得

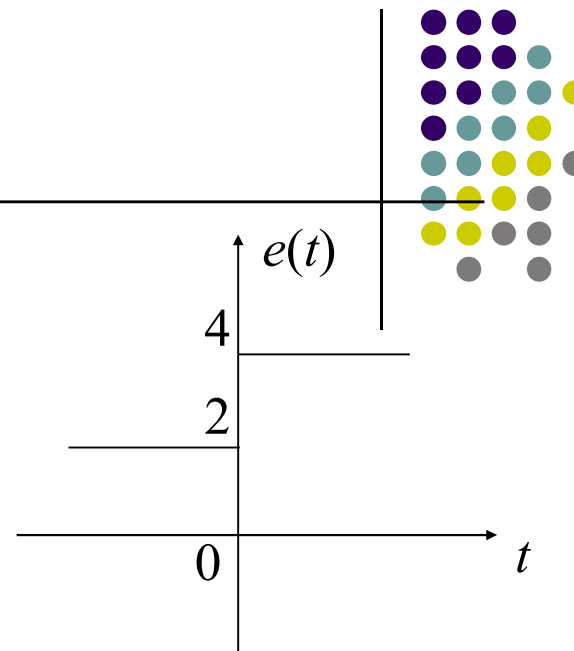
$$\frac{di(t)}{dt} = C \frac{d^2 v_c(t)}{dt^2} + \frac{v_c(t)}{L} \quad (4)$$

结合（1）和（4）消去 $v_c(t)$ 得

$$\frac{d^2 i(t)}{dt^2} + \frac{1}{RC} \frac{di(t)}{dt} + \frac{1}{LC} i(t) = \frac{1}{R} \frac{d^2 e(t)}{dt^2} + \frac{1}{RLC} e(t) \quad (5)$$

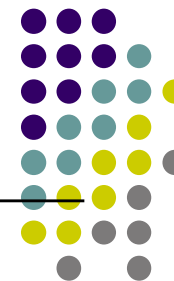
电路参数代入得

$$\frac{d^2 i(t)}{dt^2} + 4 \frac{di(t)}{dt} + 3i(t) = \frac{d^2 e(t)}{dt^2} + 3e(t)$$





例子：求解系统响应



(2) 求系统完全响应

系统特征方程 $\lambda^2 + 4\lambda + 3 = 0$

特征根： $\lambda_1 = -1$ ， $\lambda_2 = -3$ 。

齐次解： $i_h(t) = A_1 e^{-t} + A_2 e^{-3t}$ ， $t \geq 0_+$

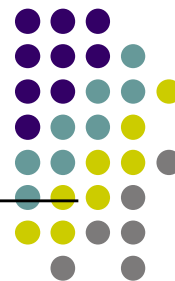
特解： 由于 $t \geq 0_+$ 时， $e(t) = 4V$

令特解 $i_p(t) = B$ ， 代入方程， 得 $B = 4$
系统完全响应为

$$i(t) = A_1 e^{-t} + A_2 e^{-3t} + 4$$



例子：求解系统响应



(3) 由电路确定 $i(0_+)$ 和 $\frac{di(0_+)}{dt}$

开关换路前：

$$i(0_-) = i_L(0_-) = \frac{2}{R} = 2A$$

由于电感电压等于零，得：

$$\frac{di(0_-)}{dt} = \frac{di_L(0_-)}{dt} = 0 ;$$

或

$$v_c(0_-) = 0V$$

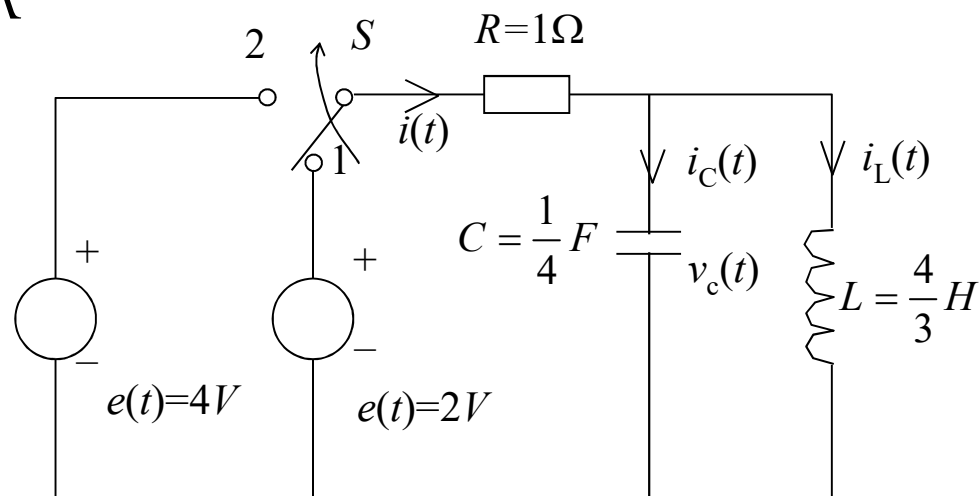


图 RLC 电路



例子：求解系统响应



开关换路后：

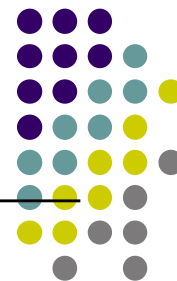
由于电容两端电压和电感中的电流不会发生突变，因而有

$$i(0_+) = \frac{e(0_+) - v_c(0_+)}{R} = 4A$$

$$\begin{aligned} \frac{di(0_+)}{dt} &= \frac{1}{R} \left[\frac{de(0_+)}{dt} - \frac{dv_c(0_+)}{dt} \right] = \frac{1}{R} \left[\frac{de(0_+)}{dt} - \frac{1}{c} i_c(0_+) \right] \\ &= \frac{1}{R} \left[\frac{de(0_+)}{dt} - \frac{1}{c} [i(0_+) - i_L(0_-)] \right] \\ &= [0 - 4(4 - 2)] = -8A \end{aligned}$$



例子：求解系统响应



(4) 求 $i(t)$ 在 $t \geq 0_+$ 的完全响应

代入初始条件，得

$$\begin{cases} i(0_+) = A_1 + A_2 + 4 = 4 \\ \frac{di(0_+)}{dt} = -A_1 - 3A_2 = -8 \end{cases}$$

求得

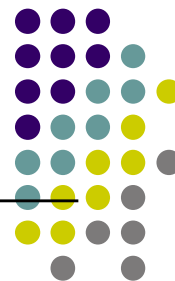
$$\begin{cases} A_1 = -4 \\ A_2 = 4 \end{cases}$$

完全响应为：

$$\begin{aligned} i(t) &= (-4e^{-t} + 4e^{-3t} + 4) \quad , \quad t \geq 0_+ \\ &= 4(-e^{-t} + e^{-3t} + 1)u(t) \end{aligned}$$



2.4 LTI系统的微分、差分方程描述



- 齐次解中的常数($i=1,2,\dots,n$)可由冲激函数匹配法确定。
原理：冲激函数及其 n 阶导数仅在零时刻非零。



例2.17



【例2.17】 求方程

$$\frac{d^2 y(t)}{dt^2} + 3 \frac{dy(t)}{dt} + 2y(t) = 2 \frac{d^2 x(t)}{dt^2} + \frac{dx(t)}{dt} + x(t)$$

所描述的因果LTI系统的冲激响应 $h(t)$ 。

解： $t > 0$ 时系统响应为齐次解的形式。

冲激响应的特解仅在 $t = 0$ 处被反映出来，其特解形式为 $\delta(t)$ 及其导数形式。

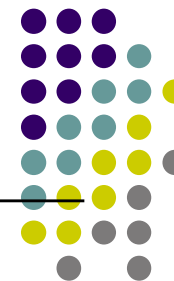
(1) 齐次解

特征方程： $\lambda^2 + 3\lambda + 2 = 0$

冲激响应的齐次解： $h_h(t) = (c_1 e^{-t} + c_2 e^{-2t})u(t)$



例2.17



(2) 特解

将 $x(t) = \delta(t)$ 代入方程右边，得

$$\text{右边} = 2\delta''(t) + \delta'(t) + \delta(t)$$

由于方程的最高阶数为2（当阶数小于2时，冲激响应的特解中不包含冲激函数），所以，冲激响应 $h(t)$ 的特解 $h_p(t) = B\delta(t)$ 代入方程使方程两边的 $\delta''(t)$ 项的系数相同，得

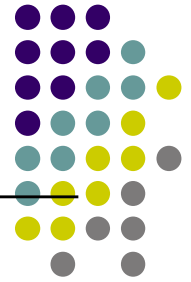
$$B = 2$$

所以 $h(t)$ 的全解为

$$h(t) = h_h(t) + h_p(t) = 2\delta(t) + (c_1 e^{-t} + c_2 e^{-2t})u(t)$$



例2.17



(3) 用冲激函数匹配法确定齐次解的系数

$$h'(t) = 2\delta'(t) + (c_1 + c_2)\delta(t) + (-c_1e^{-t} - 2c_2e^{-2t})u(t)$$

$$h''(t) = 2\delta''(t) + (c_1 + c_2)\delta'(t) + (-c_1 - 2c_2)\delta(t) + (c_1e^{-t} + 2c_2e^{-2t})u(t)$$

将 $h(t)$ 、 $h'(t)$ 和 $h''(t)$ 中的冲激函数项代入方程，
即 $t = 0$ 时，方程为

$$\begin{aligned} 2\delta''(t) + (c_1 + c_2)\delta'(t) - (c_1 + 2c_2)\delta(t) + 3(2\delta'(t) + (c_1 + c_2)\delta(t)) \\ + 4\delta(t) = 2\delta''(t) + \delta'(t) + \delta(t) \end{aligned}$$



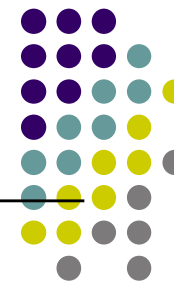
例2.17



两边系数要平衡，得

$$\begin{cases} (c_1 + c_2) + 6 = 1 \\ -(c_1 + 2c_2) + 3(c_1 + c_2) + 4 = 1 \end{cases} \Rightarrow \begin{cases} c_1 = 2 \\ c_2 = -7 \end{cases}$$

所以， $h(t) = 2\delta(t) + (2e^{-t} - 7e^{-2t})u(t)$



2.4.2 离散时间LTI系统差分方程描述

线性常系数差分方程：

$$\sum_{k=0}^N a_k y[n-k] = \sum_{k=0}^N b_k x[n-k] , \quad a_0 \neq 0$$

其解有齐次解和特解构成： $y[n] = y_h[n] + y_p[n]$

齐次解的形式是由特征根决定： $\sum_{k=0}^N a_k \cdot \lambda^{N-k} = 0$

不同特征根所对应的齐次解

特征根	齐次解 $y_h[n]$
单实根 λ_i	$C_i \lambda_i^n$
r 重实根 λ	$(C_{r-1} n^{r-1} + C_{r-2} n^{r-2} + \dots + C_1 n + C_0) \lambda^n$
一对共轭复根 $\lambda_{1,2} = a \pm jb = p e^{\pm j\theta}$	$p^n [(\cos \theta n + D \sin \theta n)]$ 或 $A p^n \cos(\theta n - \theta)$



2.4.2 离散时间LTI系统差分方程描述

特解的形式是由输入信号决定（见教材62页表2-4）。

全解：如特征根都是单根，则全解可表示如下：

$$y[n] = y_h[n] + y_p[n] = \sum_{i=1}^N C_i \lambda_i^n + y_p[n]$$

式中常数 C_i 由初始条件（或边界条件）确定。



§ 2.0 引言

§ 2.1 连续时间LTI系统的时域分析

§ 2.2 离散时间LTI系统的时域分析

§ 2.3 单位冲激/脉冲响应与LTI系统性质

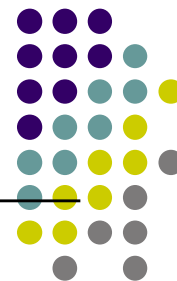
§ 2.4 LTI系统的微分、差分方程描述

§ 2.5 LTI系统的响应分解

§ 2.6 LTI系统的框图表示



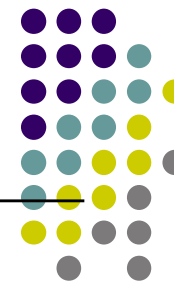
2.5 LTI系统的响应分解



零输入响应：不考虑外加输入信号的作用, 仅由系统的起始状态所产生的响应。零输入响应是齐次解形式，是齐次解的一部分。

零状态响应：不考虑系统起始状态的作用，仅由系统外加激励信号所产生的响应。零状态响应由强迫响应（特解）及自由响应的一部分构成。

系统的全响应=零输入响应+零状态响应



2.5 LTI系统的响应分解

系统全响应的表示式（特征根无重根）：

对连续时间系统：

$$\begin{aligned} y(t) &= \underbrace{\sum_{k=1}^N C_k e^{\lambda_k t}}_{\text{自由响应}} + \underbrace{B(t)}_{\text{强迫响应}} \quad t \geq 0 \\ &= \underbrace{\sum_{k=1}^N C_{zik} e^{\lambda_k t}}_{\text{零输入响应}} + \underbrace{\sum_{k=1}^N C_{zsk} e^{\lambda_k t}}_{\text{零状态响应}} + B(t) \\ &= \sum_{k=1}^N C_{zik} e^{\lambda_k t} + x(t) * h(t) \end{aligned}$$

对离散时间系统：

$$\begin{aligned} y[n] &= \underbrace{\sum_{k=1}^N C_k (\lambda_k)^n}_{\text{自由响应}} + \underbrace{B[n]}_{\text{强迫响应}} \\ &= \underbrace{\sum_{k=1}^N C_{zik} (\lambda_k)^n}_{\text{零输入响应}} + \underbrace{\sum_{k=1}^N C_{zsk} (\lambda_k)^n + B[n]}_{\text{零状态响应}} \\ &= \sum_{k=1}^N C_{zik} (\lambda_k)^n + x[n] * h[n] \end{aligned}$$



MATLAB演示

【例2-21】 求解下列方程的零输入响应。

$$\frac{d^2 y(t)}{dt^2} + 4 \frac{dy(t)}{dt} + 3y(t) = x(t), \quad y(0_-) = 1, \dot{y}(0_-) = 2$$

解：源程序如下

```
T = 0.05;
Y0 = [1 1 + 2 * T];
n = 2 : 100;
c = [4 * T - 2 1 - 4 * T + 3 * T^2];
d = [1]; f = 0 * n;
y1 = recur(c, d, n, f, 0, Y0);

y = [Y0 y1];
t = 0 : T : (length(n) + 1) * T;
plot(t, y);
xlabel('t(sec)'); ylabel('y(t)');
axis([t(1) t(length(t)) - 0.5 1.5]);
grid on;
```



MATLAB演示

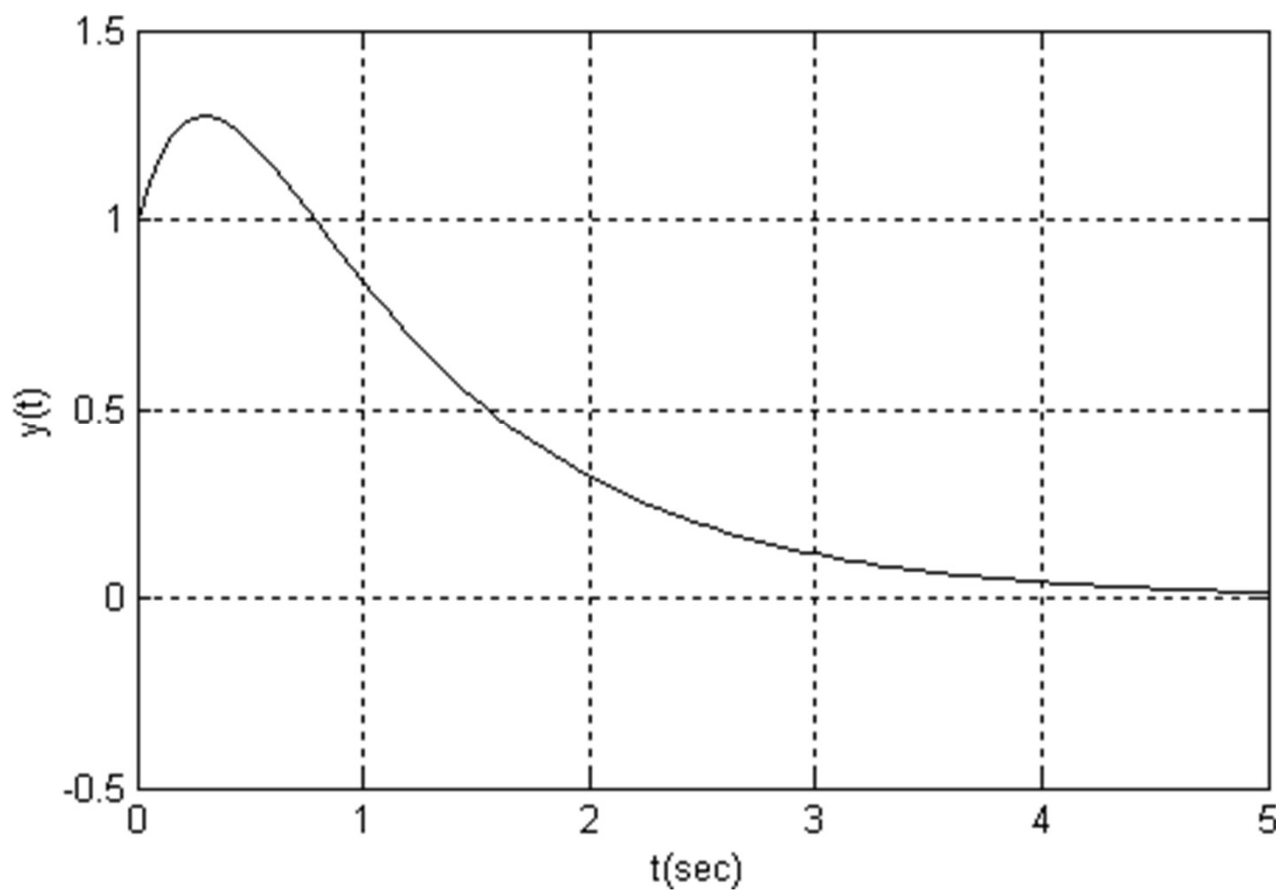
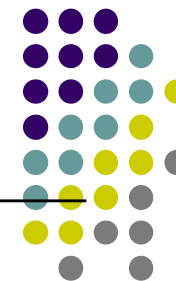
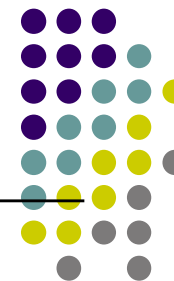


图2-33 例2.21的运行结果图



MATLAB演示



【例2-20】 求解方程

$$\frac{d^2 y(t)}{dt^2} + 4 \frac{dy(t)}{dt} + 3y(t) = \frac{dx(t)}{dt} + 3x(t), \quad x(t) = e^{-t} \cdot u(t)$$

的零状态响应。

解：源程序如下

```
%Program2.1 Numerical Solution of  
%Linear Constant - Coefficient Differential Equations  
ts = 0; te = 10; dt = 0.01;  
sys = tf([1 3],[1 4 3]);  
t = ts : dt : te;  
x = exp(-1*t);
```



MATLAB演示



```
y = lsim(sys,x,t); %计算零状态响应  
subplot(3,1,3);plot(t,y);xlabel('t(sec)');ylabel('y(t)');  
axis([t(1) t(length(t)) - 0.5 1]);grid on;
```

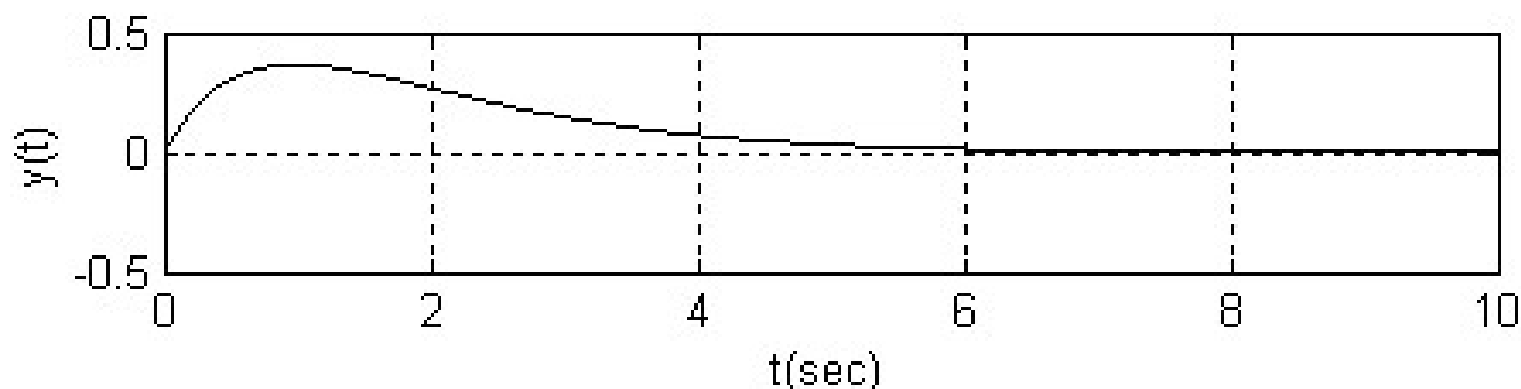
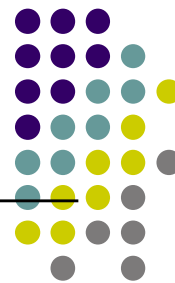


图2-32-2 例2-20的运行结果图



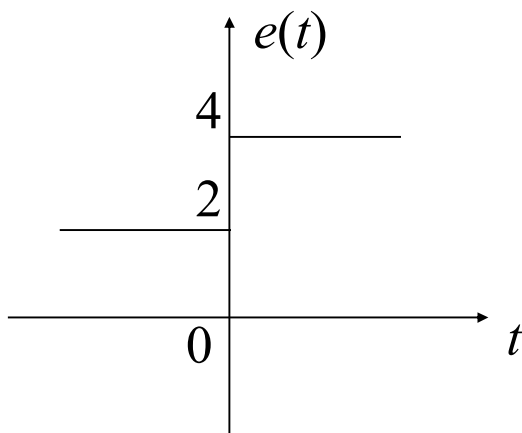
例2.14



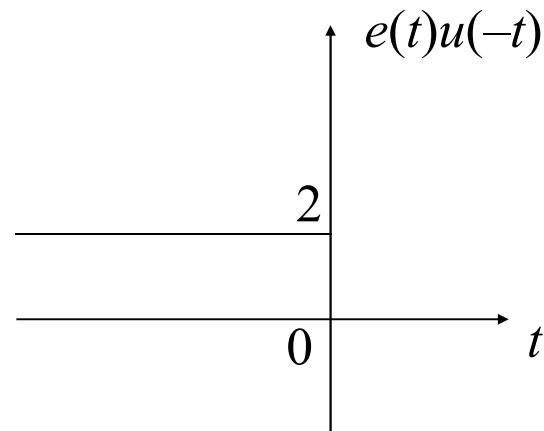
【例2.14】输入信号如图2-24，系统的方程描述为

$$\frac{d^2 i(t)}{dt^2} + 4 \frac{di(t)}{dt} + 3i(t) = \frac{d^2 e(t)}{dt^2} + 3e(t)$$

求系统的零状态响应和零输入响应 ($t \geq 0^+$)。



(a) 输入信号波形

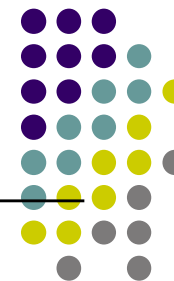


(b) $t < 0$ 时输入信号波形

图2-24 例2-17的输入信号波形



例2.14



解：（1）根据方程

$$\frac{d^2 i(t)}{dt^2} + 4 \frac{di(t)}{dt} + 3i(t) = \frac{d^2 e(t)}{dt^2} + 3e(t)$$

特征根： $\lambda_1 = -1$ $\lambda_2 = -3$

（2）确定系统响应 $i(t)$ 的起始条件。

$$i(0_-) = B \quad i'(0_-) = 0$$

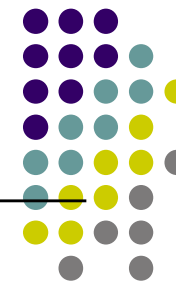
代入方程，得 $3B = 3 \times 2$ ，所以 $B = 2$ 。

有 $i(0_-) = 2$ ， $i'(0_-) = 0$

以及 $e(0_-) = 2$ ， $e'(0_-) = 0$



例2.14



(3) 求零输入响应 $i_{zi}(t)$
零输入响应应满足

$$\frac{d^2 i_{zi}(t)}{dt^2} + 4 \frac{di_{zi}(t)}{dt} + 3i_{zi}(t) = 0, \quad t \geq 0_+$$

但在 $t = 0$ 时刻, 方程的右边应有:

$$\left. \frac{d^2 e(t)u(-t)}{dt^2} \right|_{t=0} = -2\delta'(t)$$



例2.14



右边的 $\delta(t)$ 最高导数阶数小于方程左边输出信号导数的阶数，因此， $i_{zi}(t)$ 在 $t = 0$ 处无冲激函数。

因此，有

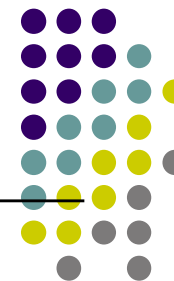
$$i_{zi}(t) = \left(C_{zi1} e^{-t} + C_{zi2} e^{-3t} \right) u(t)$$

$$i'_{zi}(0) \text{ 包含: } (i_{zi}(0_+) - i_{zi}(0_-)) \delta(t)$$

$$i''_{zi}(0) \text{ 包含: } (i_{zi}(0_+) - i_{zi}(0_-)) \delta'(t) + (i'_{zi}(0_+) - i'_{zi}(0_-)) \delta(t)$$



例2.14



将上式代入方程（2），得

$$\begin{aligned} & (i_{zi}(0_+) - i_{zi}(0_-))\delta'(t) + (i'_{zi}(0_+) - i'_{zi}(0_-))\delta(t) \\ & + 4(i_{zi}(0_+) - i_{zi}(0_-))\delta(t) = -2\delta'(t) \end{aligned}$$

化简上式，并使两边冲激函数项的系数相同，有

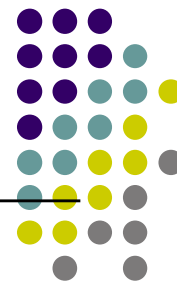
$$\begin{cases} i_{zi}(0_+) - i_{zi}(0_-) = -2 \\ i'_{zi}(0_+) - i'_{zi}(0_-) = 8 \end{cases} \Rightarrow \begin{cases} i_{zi}(0_+) = i_{zi}(0_-) - 2 = 0 \\ i'_{zi}(0_+) = i'_{zi}(0_-) + 8 = 8 \end{cases}$$

因此，解得系统的零输入响应为

$$i_{zi}(t) = (4e^{-t} - 4e^{-3t})u(t)$$



例2.14



(4) 零状态响应

零状态响应 $i_{zs}(t)$ 应满足以下条件

$$i_{zs}(0_-) = i'_{zs}(0_-) = 0 \quad \text{且输入} \quad e(t) = 4u(t)$$

由于当 $t = 0$ 时, 方程右边有

$$= \frac{d^2 e(t)}{dt^2} + 3e(t) = \frac{d^2 (4u(t))}{dt^2} = 4\delta'(t) \quad (1)$$

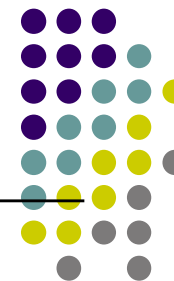
由于 $t > 0$ 时, 输入信号 $e(t) = 4$ 为一常数,

因此有 $i_{zsp}(t) = Bu(t)$, 代入方程 ($t > 0_+$), 得 $B = 4$

得特解 $e(t) = 4u(t)$



例2.14



因此, $i_{zs}(t)$ 可表示为

$$i_{zs}(t) = (C_{zs1}e^{-t} + C_{zs2}e^{-3t} + 4) \cdot u(t) \quad (2)$$

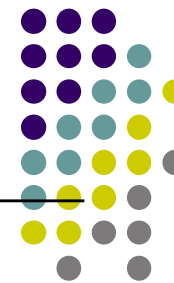
根据上式, 我们有 ($t = 0$ 时刻)

$$i'_{zs}(0) \text{ 包含: } (i_{zs}(0_+) - i_{zs}(0_-))\delta(t) = i_{zs}(0_+)\delta(t)$$

$$\begin{aligned} i''_{zs}(0) \text{ 包含: } & (i_{zs}(0_+) - i_{zs}(0_-))\delta'(t) + (i'_{zs}(0_+) - i'_{zs}(0_-))\delta(t) \\ & = i_{zs}(0_+)\delta'(t) + i'_{zs}(0_+)\delta(t) \end{aligned}$$



例2.14



结合（1）式，在 $t = 0$ 时刻。系统的方程可表示为
（仅需考虑冲激函数项）

$$i_{zs}(0_+) \delta'(t) + i'_{zs}(0_+) \delta(t) + 4i_{zs}(0_+) \delta(t) = 4\delta'(t)$$

得
$$\begin{cases} i_{zs}(0_+) = 4 \\ i'_{zs}(0_+) = -16 \end{cases}$$

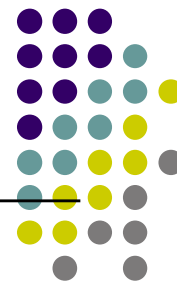
代入（2），得
$$\begin{cases} i_{zs}(0_+) = C_{zs1} + C_{zs2} + 4 = 4 \\ i'_{zs}(0_+) = -C_{zs1} - 3C_{zs2} = -16 \end{cases} \Rightarrow \begin{cases} C_{zs1} = -8 \\ C_{zs2} = +8 \end{cases}$$

零状态响应为：
$$i_{zs}(t) = (-8e^{-t} + 8e^{-3t} + 4)u(t)$$

最终得完全响应为：
$$i(t) = (-4e^{-t} + 4e^{-3t} + 4)u(t)$$



例2.20



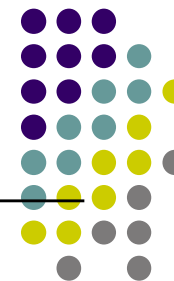
【例2.20】 描述某一因果离散系统的差分方程

$$y[n] + \frac{1}{2} y[n-1] - \frac{1}{2} y[n-2] = x[n], \quad n \geq 0$$

已知激励 $x[n] = 2^n u[n]$ ； 响应信号 $y[n]$ 的起始条件, $y[-1] = 1$
 $y[-2] = 0$, 求系统的零输入响应、零状态响应和全响应。



例2.20



解：（1）零输入响应

零输入响应满足

$$\begin{cases} y_{zi}[n] + \frac{1}{2}y_{zi}[n-1] - \frac{1}{2}y_{zi}[n-2] = 0 \\ y_{zi}[-1] = y[-1] = 1, \quad y_{zi}[-2] = y[-2] = 0, \quad x[-1] = x[-2] = 0 \end{cases}$$

首先求 $y_{zi}[0]$ 和 $y_{zi}[1]$ 。将差分方程改写为

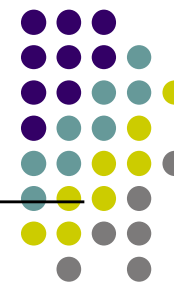
$$y_{zi}[n] = -\frac{1}{2}y_{zi}[n-1] + \frac{1}{2}y_{zi}[n-2]$$

将 $y_{zi}[-1]$ 和 $y_{zi}[-2]$ 代入上式，有： $y_{zs}[0] = -\frac{1}{2}$

$$y_{zs}[1] = \frac{3}{4}$$



例2.20



差分方程的特征根 $\lambda_1 = -1$, $\lambda_2 = \frac{1}{2}$,
故零输入响应

$$y_{zi}[n] = \left[C_{zi1} (-1)^n + C_{zi2} \left(\frac{1}{2}\right)^n \right] u[n]$$

初始值代入上式, 得

$$\begin{aligned} y_{zs}[0] &= C_{zi1} + C_{zi2} = -\frac{1}{2} \\ y_{zs}[1] &= -C_{zi1} + \frac{1}{2} C_{zi2} = \frac{3}{4} \end{aligned} \Rightarrow \begin{cases} C_{zi1} = -\frac{2}{3} \\ C_{zi2} = \frac{1}{6} \end{cases}$$

系统的零输入响应

$$y_{zi}[n] = \left[-\frac{2}{3} (-1)^n + \frac{1}{6} \left(\frac{1}{2}\right)^n \right] u[n]$$



例2.20



(2) 零状态响应
零状态响应满足

$$\begin{cases} y_{zs}[n] + \frac{1}{2}y_{zs}[n-1] - \frac{1}{2}y_{zs}[n-2] = x[n] \\ y_{zs}[-1] = y_{zs}[-2] = 0, \quad x[-1] = x[-2] = 0 \end{cases}$$

首先求出初始值 $y_{zs}[0]$ 和 $y_{zs}[1]$ ，改写系统方程

$$y_{zs}[n] = -\frac{1}{2}y_{zs}[n-1] + \frac{1}{2}y_{zs}[n-2] + 2^n \cdot u[n]$$

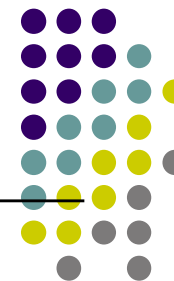
因此，有

$$y_{zs}[0] = -\frac{1}{2}y_{zs}[-1] + \frac{1}{2}y_{zs}[-2] + 1 = 1$$

$$y_{zs}[1] = -\frac{1}{2}y_{zs}[0] + \frac{1}{2}y_{zs}[-1] + 2 = \frac{3}{2}$$



例2.20



特解 $B[n] = B2^n$

代入方程，有

$$B2^n + \frac{1}{2}B2^{n-1} - \frac{1}{2}B2^{n-2} = 2^n$$

解得 $B = \frac{8}{9}$ ，故特解

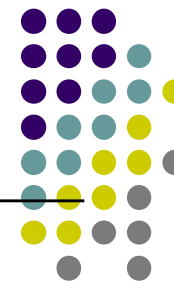
$$B[n] = \frac{8}{9}(2)^n u[n]$$

故零状态响应

$$y_{zs}[n] = \left(C_{zs1}(-1)^n + C_{zs2}(2)^n + \frac{8}{9}(2)^n \right) u[n]$$



例2.20



将初始值 $y_{zs}[0]$ 、 $y_{zs}[1]$ 代入上式，得

$$\begin{cases} y_{zs}[0] = C_{zs1} + C_{zs2} + \frac{8}{9} = 1 \\ y_{zs}[1] = -C_{zs1} + \frac{1}{2}C_{zs2} + \frac{16}{9} = \frac{3}{2} \end{cases}$$

解得 $C_{zs1} = \frac{2}{9}$ ， $C_{zs2} = -\frac{1}{9}$ ，故零状态响应

$$y_{zs}[n] = \left[\frac{2}{9}(-1)^n - \frac{1}{9}\left(\frac{1}{2}\right)^n + \frac{8}{9}(2)^n \right] u[n]$$



例2.20

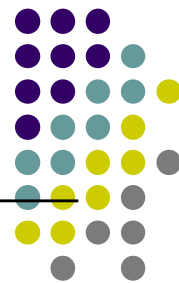


(3) 全响应

$$y[n] = y_{zi}[n] + y_{zs}[n] = \left[\underbrace{-\frac{2}{3}(-1)^n + \frac{1}{6}\left(\frac{1}{2}\right)^n}_{\text{零输入响应}} + \underbrace{\frac{2}{9}(-1)^n - \frac{1}{9}\left(\frac{1}{2}\right)^n + \frac{8}{9}(2)^n}_{\text{零状态响应}} \right] u[n]$$

自由响应 强迫响应

$$= \left(-\frac{4}{9}(-1)^n + \frac{1}{18}\left(\frac{1}{2}\right)^n + \frac{8}{9}(2)^n \right) \cdot u[n]$$



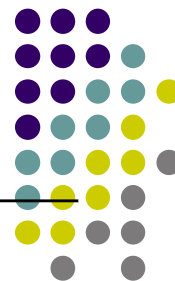
2.5 LTI系统的响应分解

单纯从数学角度说，这类用线性常系数微分方程描述的系统也可以是非因果的。要使这类系统严格满足因果LTI性质，必须附加初始静止条件。

- 初始静止条件：对于 $t \leq t_0$ （或 $n \leq n_0$ ），若输入 $x(t) = 0$ （或 $x[n] = 0$ ），则输出 $y(t) = 0$ （或 $y[n] = 0$ ）。
- 初始静止条件下，线性常系数微分/差分方程所描述的系统是因果的和LTI的。



2.5 LTI系统的响应分解



系统的线性性进一步描述成：

- 系统响应具有可分解性：零输入响应和零状态响应之和。
- 零状态线性：即系统的零状态响应对于外加激励信号呈线性。
- 零输入线性：即系统的零输入响应对于各系统的起始状态呈线性关系。



§ 2.0 引言

§ 2.1 连续时间LTI系统的时域分析

§ 2.2 离散时间LTI系统的时域分析

§ 2.3 单位冲激/脉冲响应与LTI系统性质

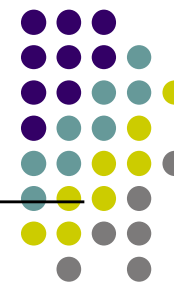
§ 2.4 LTI系统的微分、差分方程描述

§ 2.5 LTI系统的响应分解

§ 2.6 LTI系统的框图表示

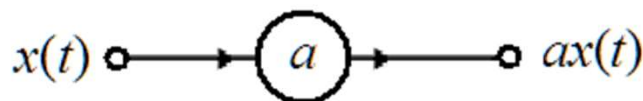
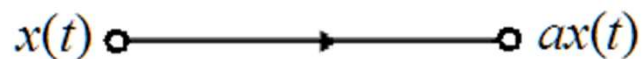


2.6 LTI系统的框图表示

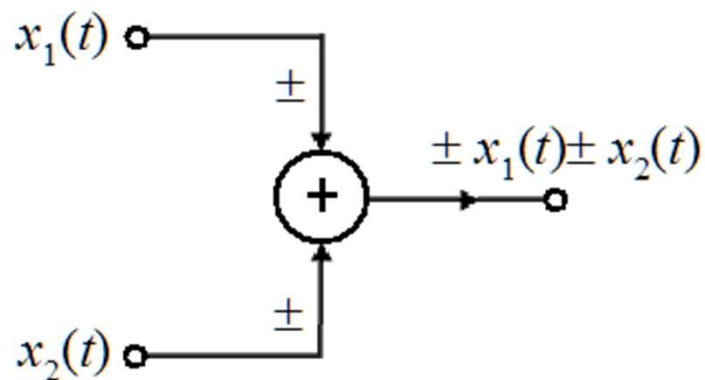


●1. 连续时间线性时不变系统的方框表示

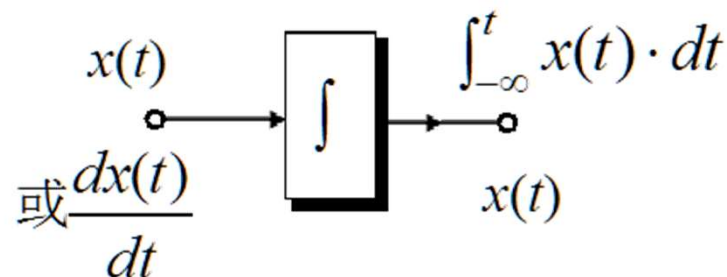
三种基本运算器：



(a) 标乘器



(b) 加法器



(c) 积分器



2.6 LTI系统的框图表示



描述一个二阶系统的微分方程为

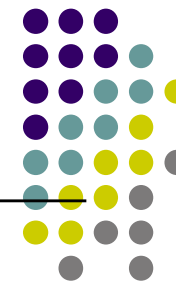
$$a_2 \frac{d^2 y(t)}{dt^2} + a_1 \frac{dy(t)}{dt} + a_0 y(t) = b_2 \frac{d^2 x(t)}{dt^2} + b_1 \frac{dx(t)}{dt} + b_0 x(t) \quad (2.81)$$

考虑以下方程

$$a_2 \frac{d^2 \omega(t)}{dt^2} + a_1 \frac{d\omega(t)}{dt} + a_0 \omega(t) = x(t) \quad (2.82)$$

则式(2.81)的系统可看成输入信号为 $b_2 \frac{d^2 x(t)}{dt^2} + b_1 \frac{dx(t)}{dt} + b_0 x(t)$ 的式(2.82)所描述的系统。

根据LTI的叠加性和微分性质，有 $y(t) = b_2 \frac{d^2 \omega(t)}{dt^2} + b_1 \frac{d\omega(t)}{dt} + b_0 \omega(t)$



2.6 LTI系统的框图表示

将（2.82）式描述的系统方程改写为

$$\frac{d^2\omega(t)}{dt^2} = \left(x(t) - a_1 \frac{d\omega(t)}{dt} - a_0\omega(t) \right) / a_2$$

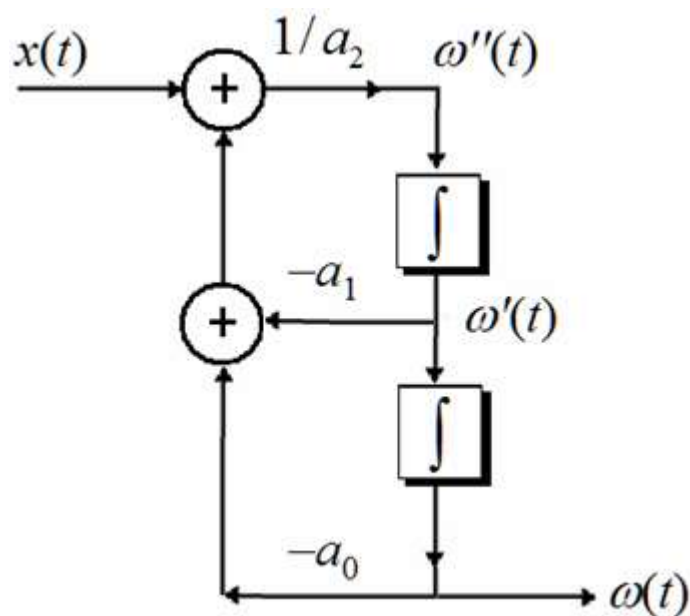


图2-25 （2.81）所描述的系统的模拟框图

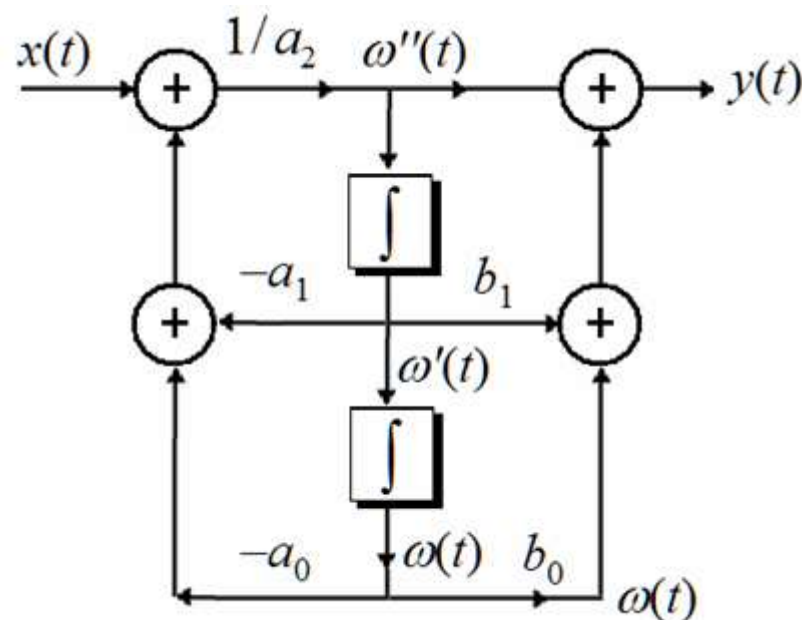


图2-26 二阶系统的模拟图



2.6 LTI系统的框图表示

一个由N阶微分方程描述的系统可表示为：

$$\sum_{k=0}^N a_k \frac{d^k y(t)}{dt^k} = \sum_{k=0}^N b_k \frac{d^k x(t)}{dt^k}$$

其模拟框图可用图2-27所示框图来表示。一般将图2-27所示的模拟框图称为直接II型结构。

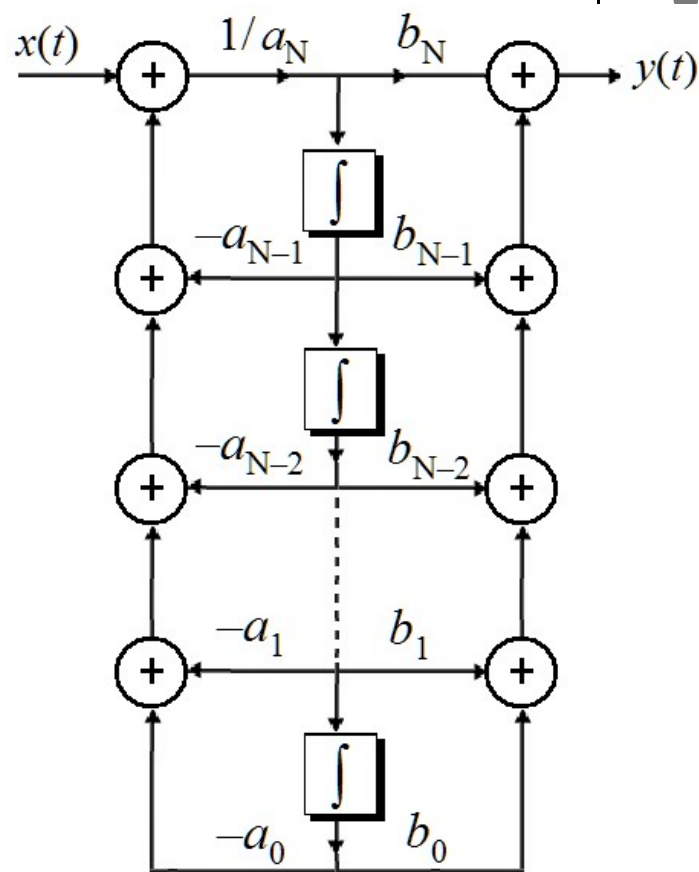
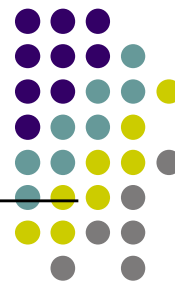


图2-27 N阶系统的模拟图

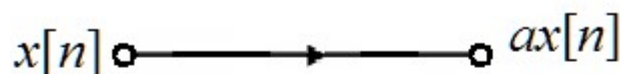


2.6 LTI系统的框图表示

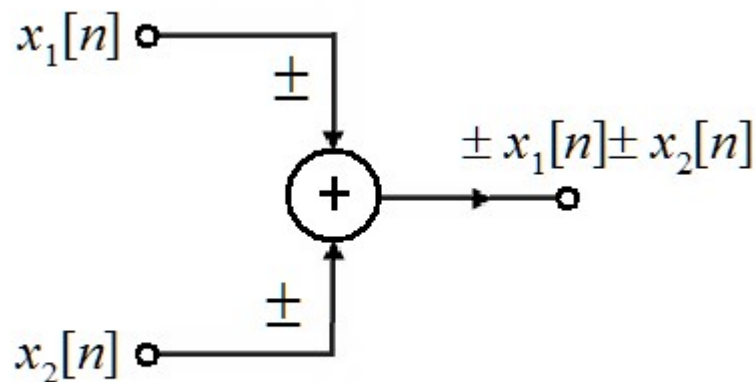


●2. 离散时间线性时不变系统的方框表示

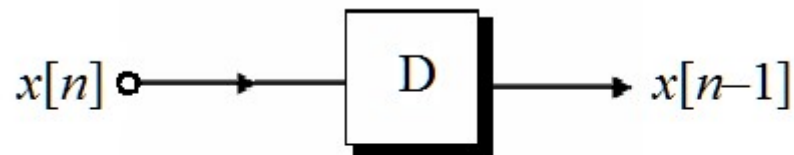
三个基本运算单元:



(a) 标乘器



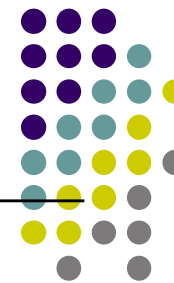
(b) 加法器



(c) 单位延迟器



2.6 LTI系统的框图表示



一个N阶的离散系统的差分方程可表示为

$$\sum_{k=0}^N a_k y[n-k] = \sum_{k=0}^N b_k x[n-k], \quad a_0 \neq 0 \quad (2.86)$$

考查系统

$$\sum_{k=0}^N a_k w[n-k] = x[n] \quad (2.87)$$

当(2.87)的系统输入信号为 $\sum_{k=0}^N b_k x[n-k]$ 组合信号，就是(2.86)系统。

根据LTI系统的叠加性和时不变性，我们有 $y[n] = \sum_{k=0}^N b_k w[n-k]$

将(2.87)式改写为 $w[n] = \left(x[n] - \sum_{k=1}^N a_k w[n-k] \right) / a_0$



2.6 LTI系统的框图表示

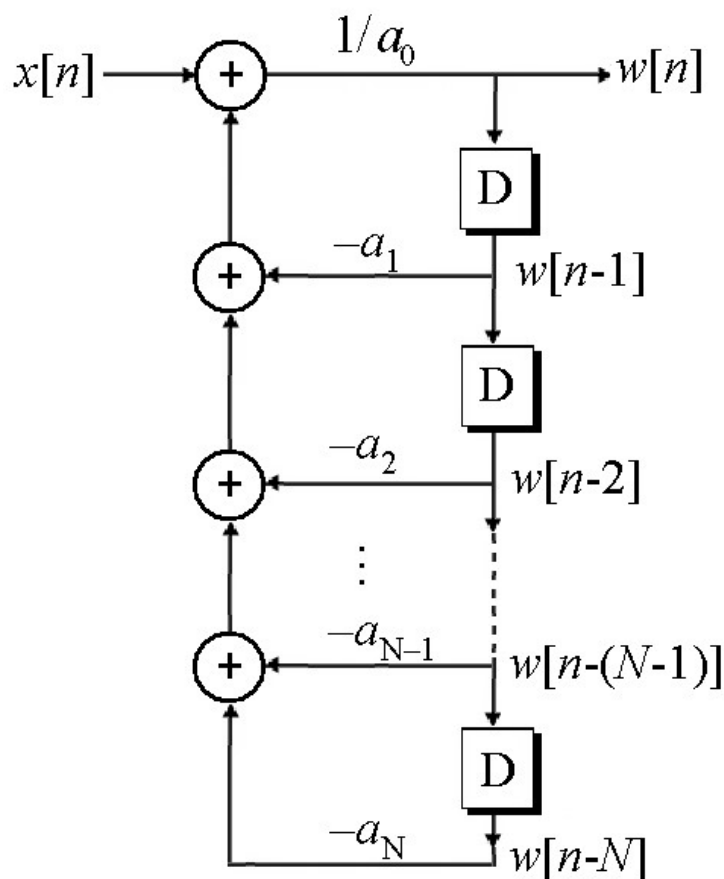


图2-28 式2.87所描述的系统框图

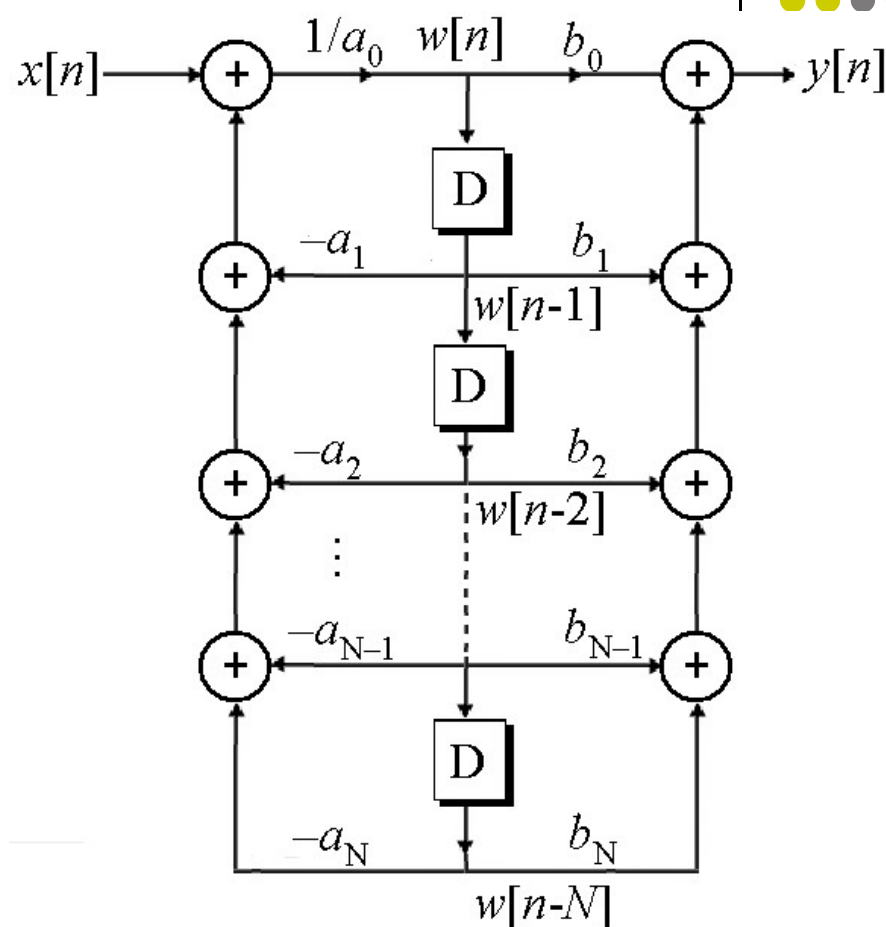
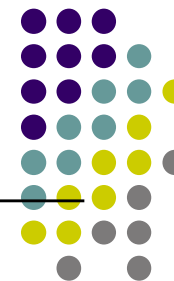


图2-29 N阶离散系统的模拟框图



MATLAB演示



【例2-25】试用MATLAB仿真如图所示的LC并联电路。

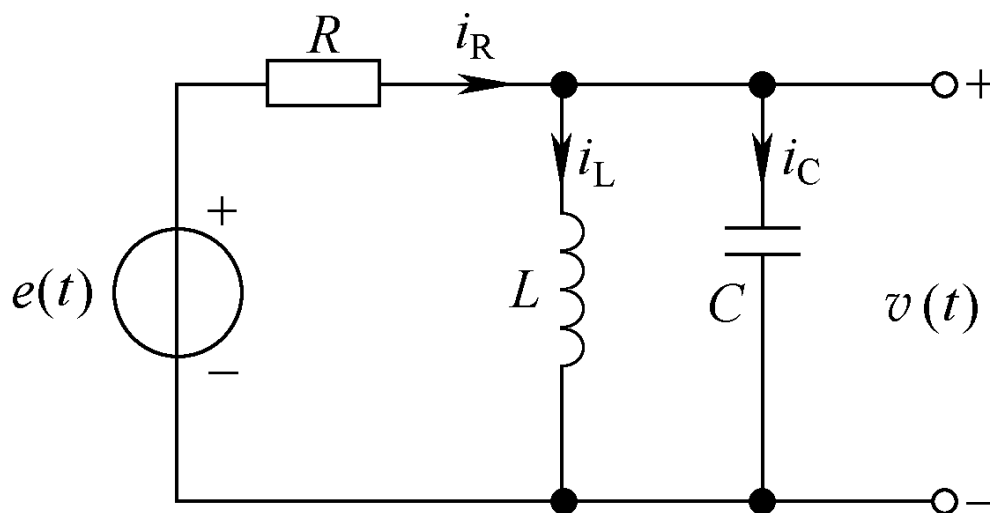
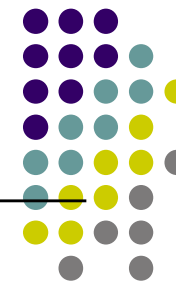


图2-37 例2.25所讨论的LC并联电路



MATLAB演示



解: LC并联电路的方程为:

$$\frac{d^2}{dt^2} v(t) + \frac{1}{RC} \frac{d}{dt} v(t) + \frac{1}{LC} v(t) = \frac{1}{RC} \frac{d}{dt} e(t)$$

模拟框图:

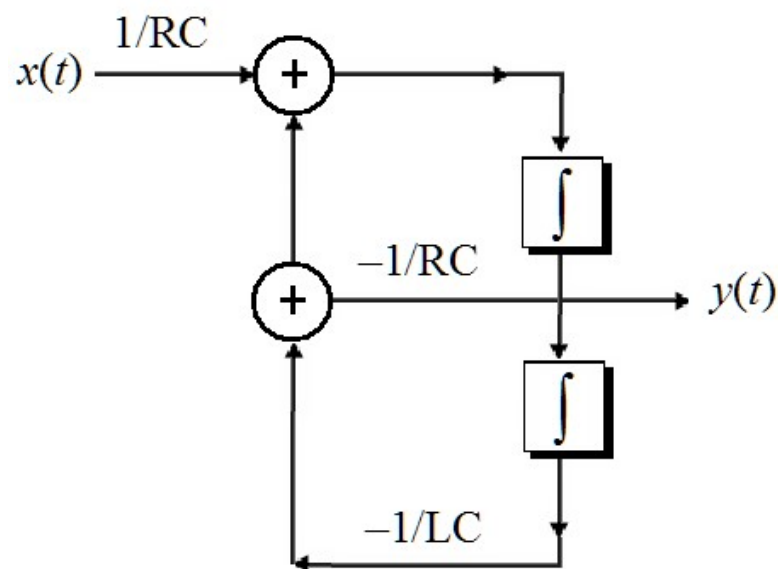
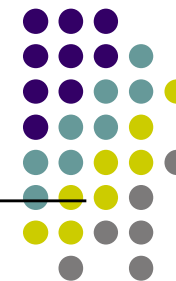


图2-38 LC并联电路的模拟框图

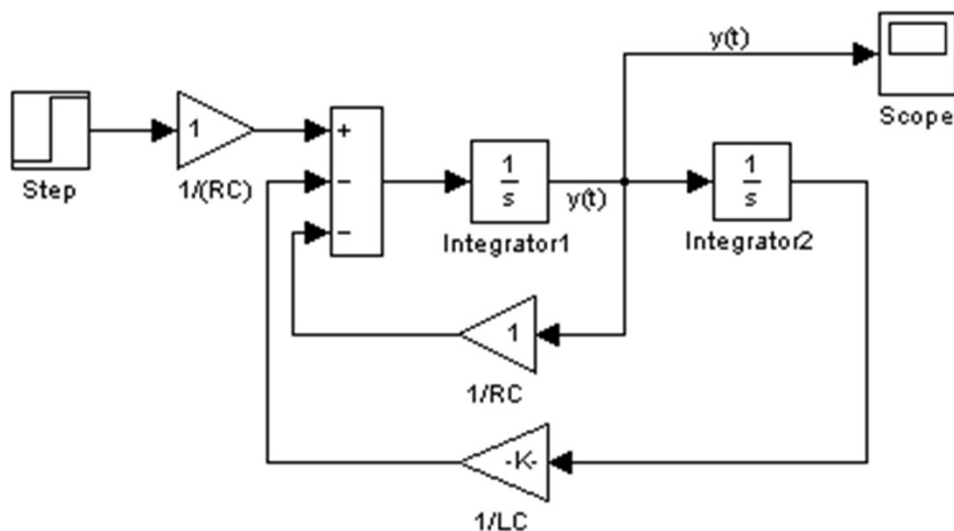


MATLAB演示

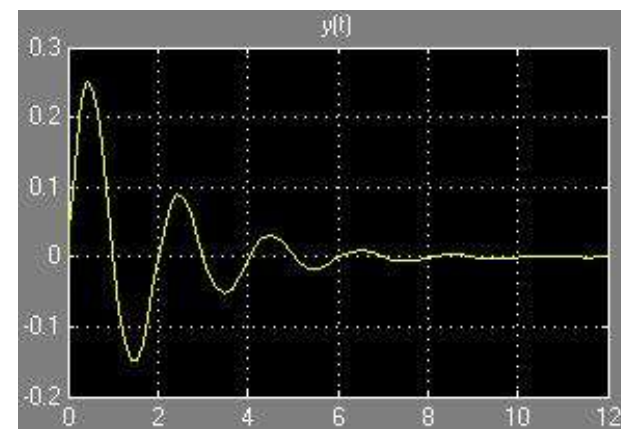


取 $1/RC = 1$, $1/LC = 10$, $e(t) = u(t)$

SIMULINK仿真框图

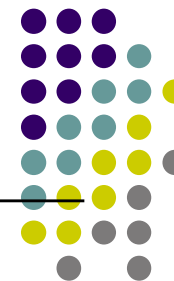


仿真结果





MATLAB演示

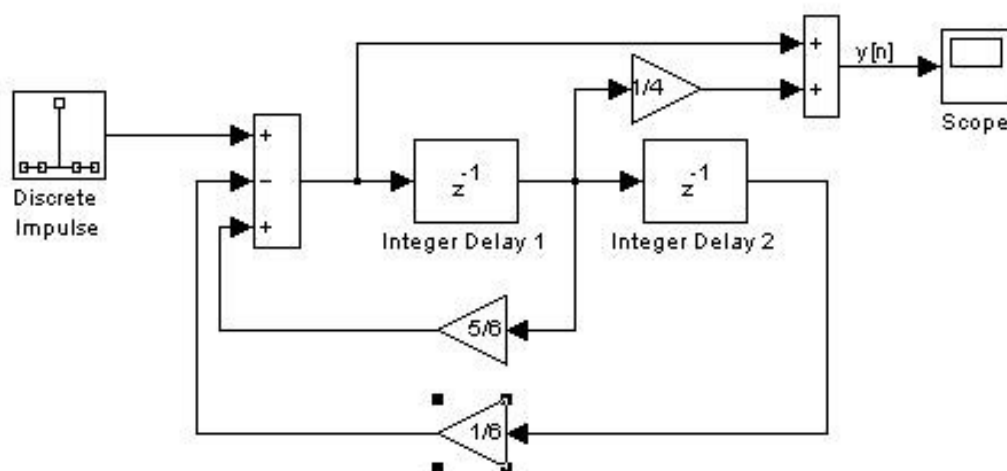


【例2-26】 试用MATLAB的SIMULINK工具箱仿真以下离散系统：

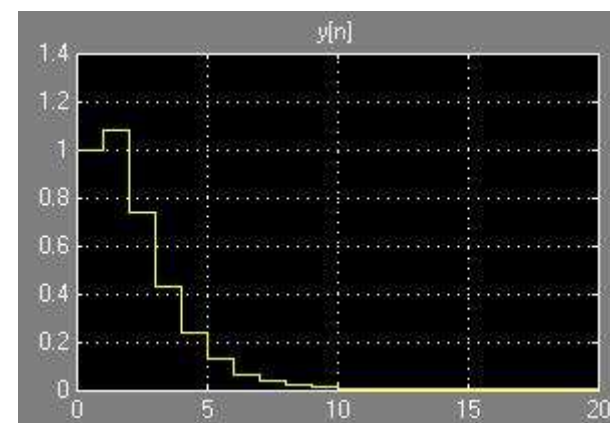
$$y[n] - \frac{5}{6}y[n-1] + \frac{1}{6}y[n-2] = x[n] + \frac{1}{4}x[n-1], \quad x[n] = \delta[n]$$

解：

SIMULINK仿真框图

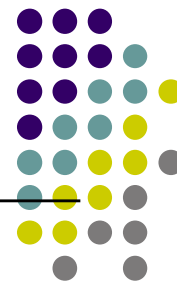


仿真结果





小结



- 本章着重论述了线性时不变系统的卷积表示方法，还讨论了线性时不变系统的时域经典求解方法、响应的零状态响应和零输入响应解和LTI系统的框图表示。